

МИНИСТЕРСТВО ГЕОЛОГИИ СССР
ГЛАВНОЕ ГЕОЛОГИЧЕСКОЕ УПРАВЛЕНИЕ УССР
КИЕВСКИЙ ГЕОЛОГИЧЕСКИЙ ТРЕСТ

ГЕОЛОГИЧЕСКАЯ
КАРТА СССР

масштаба 1:200 000

Серия Центрально-Украинская

Лист М-36-XIX

Объяснительная записка

Составители: В. И. Шунько, О. Н. Цымбал, А. А. Голубицкая
Редактор Л. И. Козловская

Утверждено Научно-редакционным советом ВСЕГЕИ
17 октября 1963 г., протокол № 24

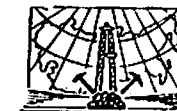
+8544



Карта

см: СА 3853

СА 3363



ИЗДАТЕЛЬСТВО «НЕДРА»
МОСКВА 1969

ВВЕДЕНИЕ

Территория листа М-36-XIX расположена в пределах Киевской и частично Черкасской областей Укр. ССР и ограничена координатами $49^{\circ}20'$ — $50^{\circ}00'$ с. ш. и $30^{\circ}00'$ — $31^{\circ}00'$ в. д. от Гринвича.

В орографическом отношении исследованная территория делится на два резко различные района, относящиеся, согласно классификации В. Г. Бондарчука (1949), к Приднепровской возвышенности (правобережье р. Рось) и Киевскому плато (левобережье р. Рось). Часть территории листа, относящаяся к Приднепровской возвышенности, отличается густой сетью рек и очень разветвленных балок с крутыми высокими склонами. В верховьях балок часто наблюдается обновление эрозионной деятельности с образованием глубоких активных оврагов. Территория, относящаяся к Киевскому плато, представляет собой слабо всхолмленную лессовую равнину с небольшим уклоном с севера на юг в сторону долины р. Рось.

Абсолютные отметки поверхности Приднепровской возвышенности колеблются в пределах 200—260 м. Поверхность Киевского плато характеризуется отметками 130—195 м.

Главной водной артерией, пересекающей территорию листа с северо-запада на юго-восток, является р. Рось — правый приток р. Днепра. К наиболее крупным притокам р. Роси относятся Каменка, Протока, Узин, Горховатка, Россава, Торц, Тарган, Катлуга.

В северной и северо-восточной частях листа расположены верховья р. Красной и Леглыч, также принадлежащих бассейну р. Днепра. В южной части листа протекает р. Гнилой Тикич — правый приток р. Южного Буга.

Долина Роси отличается наиболее хорошей обнаженностью как кристаллических, так и осадочных пород, и местами, на участках выходов кристаллических пород на дневную поверхность, характеризуется каньонообразным профилем.

Климат исследованной территории умеренно континентальный. Наиболее крупными населенными пунктами являются города Белая Церковь, Богуслав, Тараща. Территорию листа с северо-запада на юго-восток пересекает ж. д. Киев — Днепропетровск с ответвлением от ст. Мироновка на Кагарлык и Богуслав. В западной части листа с севера на юг проходит участок автомагистрали Киев — Одесса.

Население в основном занято сельским хозяйством.

Первые данные о геологическом строении территории листа относятся к первой половине XIX в. и носят характер разрозненных сведений, в которых приводятся регистрация выходов горных пород и описание литологического состава их.

Во второй половине XIX в. публикуются работы К. М. Феофилактова (1851) и Н. П. Барбот-де-Марни (1872), в которых освещаются вопросы генезиса и возрастных взаимоотношений докембрийских образований.

В классической монографии Н. А. Соколова (1893) приводится расчленение нижнетретичных отложений. Стратиграфическая схема, приведенная ав-

тором, сохранила свое значение до настоящего времени. Ценные сведения о тектонике и геологическом строении листа помещены в работах В. Д. Ласкарева (1905), В. И. Лучицкого (1910), П. А. Тутковского (1915).

Бурный рост планомерных геологических исследований начинается после Великой Октябрьской революции.

Целый ряд новых данных по стратиграфии, тектонике и полезным ископаемым исследованной территории публикуется в работах Б. Л. Личкова (1922, 1924, 1925, 1931), Н. И. Безбородко (1924), В. Е. Тарасенко (1925), В. И. Крокоса (1927), Ю. И. Половинкиной (1928), А. Н. Козловской (1928ф), В. И. Лучицкого (1930), М. И. Ожеговой (1931ф).

Территория листа покрывается геологическими съемками м-ба 1 : 126 000, проводимыми А. Н. Козловской (1931ф), А. Г. Ткачуком (1931ф), А. А. Лужанским (1931ф), В. Н. Чирвицким (1932ф).

Значительное внимание уделяется составлению сводных работ по ряду полезных ископаемых — В. Н. Чирвицким (1936ф) и И. Г. Сагайдаком, В. И. Кузьменко, М. И. Ожеговой (1936ф) составляются сводки по бурым углем, строительным и декоративным материалам.

В 1940—1941 гг. Л. Г. Ткачуком и М. Г. Дядченко по материалам геологических съемок м-ба 1 : 126 000 составляется геологическая карта м-ба 1 : 200 000. В. М. Голубенко (1940—1941ф) проводит шлиховое опробование аллювиальных отложений долины р. Роси и ее притоков.

В 1945 г. геологами Украинского геологического управления составляются обстоятельные сводные работы, посвященные геологии, тектонике, гидрогеологии и полезным ископаемым.

Е. М. Матвиенко, А. Н. Козловской, П. К. Заморицем и В. Г. Сибярем (1945ф) составлена геологическая карта м-ба 1 : 500 000 листа М-36-В (Кировоград), куда полностью входит и территория листа М-36-XIX. И. Е. Слензак (1945ф) произвел сравнительный анализ бороугольных месторождений Киевской и Кировоградской областей. О. Н. Ничевич и Е. М. Матвиенко (1945ф) описывают источники радионовых вод г. Белая Церковь.

О. К. Каптаренко-Черноусова (1946ф) выясняет условия формирования киевского и харьковского ярусов и их палеогеографию.

П. К. Заморицем и М. Ф. Векличан (1951—1951ф) проделана большая работа по изучению геоморфологии бассейна р. Роси. В 1953 г. А. Н. Козловской и М. И. Ожеговой завершены работы по составлению структурно-петрографической карты докембрия м-ба 1 : 500 000 на площади листов М-35-Г и М-36-В. Авторами освещены генетические и возрастные взаимоотношения кристаллических пород района. Подчеркивается особое значение кировоградско-житомирского интрузивного комплекса, сыгравшего основную роль в формировании петрографических и структурных особенностей кристаллических пород.

Наряду с работами, освещающими общегеологические вопросы, в широких масштабах проводятся поисковые и поисково-разведочные работы на ряд ценных полезных ископаемых — титан, цирконий, бурый уголь, радионовые воды, строительные материалы, бентонитовые глины и др.

Результаты исследований изложены в отчетах Г. И. Мокроусова, Н. И. Троицкой, А. И. Чередниченко, И. И. Цапенко, Г. В. Сикорской, П. Т. Нацика, Г. М. Томашпольского, К. Д. Дубянки, М. Д. Гринюка, И. В. Ткаченко, Г. Е. Горбачевского, Ф. М. Голования, А. А. Денисевича, Н. Т. Вадимова, И. А. Падалки, А. Г. Клыкова.

В настоящее время продолжаются поисковые работы на титан, цирконий, радионовые воды, выполняемые Правобережной экспедицией треста «Киевгеология».

На территории листа, начиная с 1945 г., выполнен большой объем разнообразных геофизических исследований, в результате которых были составлены гравиметрические и магнитные карты м-ба 1 : 200 000 и 1 : 50 000, предприняты первые шаги в составлении тектонической карты на основе анализа геофизических данных (Кужелов, 1960ф), а также выделен ряд магнитных аномалий, которые проверялись картировочным бурением с целью обнаружения ультраосновных пород и полезных ископаемых, с ними связанных.

Результаты геофизических исследований изложены в отчетах И. А. Балабушевича (1945ф), Р. И. Якерсон (1946ф), И. В. Горячко (1949ф), Ф. Г. Барабчука (1954ф), М. А. Сперансского (1955ф), К. А. Болюбаха, Л. П. Шаган, Е. И. Голод (1958ф), А. И. Григорьева и Г. И. Заяц.

В связи с полученными нами новыми данными в части границ распространения отложений верхнего отдела пермской системы и других погребенных отложений, северная рамка листа по отложениям этого возраста не увязывается с южной рамкой листа М-36-XIII.

Выделение нижнемиоценовых отложений на территории листа М-36-ХХV, на наш взгляд, является недостаточно обоснованным. Возраст аналогичных отложений на территории листа М-36-XIX нами, как и большинством исследователей, определяется как миоценовый (полтавская свита). Вследствие этого, южная рамка листа по отложениям этого возраста не увязывается.

СТРАТИГРАФИЯ

Территория листа М-36-XIX расположена в пределах сочленения двух крупных регионов — Украинского кристаллического массива и Днепровско-Донецкой впадины. Более 80% площади листа принадлежит центральной части и северо-восточному склону Украинского кристаллического массива, к которому в крайней северо-восточной части листа примыкает юго-западное крыло Днепровско-Донецкой впадины.

В геологическом строении центральной части кристаллического массива принимает участие сложный комплекс докембрийских образований, представленных архейской серией гнейсов и гранитоидами кировоградско-житомирского комплекса. На кристаллических породах широко развита кора выветривания, мощность которой достигает 30—40 м. Осадочный покров, достигающий мощности 30—40 м, сложен породами палеогенового, неогенового и четвертичного возрастов.

Район, относящийся к северо-восточному склону кристаллического массива, характеризуется незначительным развитием коры выветривания и наличием довольно мощной толщи (до 170 м) осадочных пород кайнозоя и мезозоя (юра, мел). Последние залегают либо в виде островов, сохранившихся от размыва, либо выполняют депрессии в кристаллическом ложе.

Область борта впадины отличается наибольшим глубоким залеганием кристаллических пород (170—230 м). Здесь почти полностью отсутствует кора выветривания. Непосредственно на кристаллических породах залегает толща осадочных образований палеозой — кайнозойского возраста.

Поверхность кристаллических пород в общем довольно плавно погружается в северо-восточном направлении от массива к впадине при среднем падении 6—10 м/км (рис. 1).

АРХЕЙ

Серия гнейсов. Представлена группой древних метаморфических пород, среди которых выделены пироксено-плагиоклазовые и амфиболо-пироксено-плагиоклазовые, амфиболо-биотито-плагиоклазовые и биотито-плагиоклазовые гнейсы. Эти породы пользуются довольно ограниченным распространением и наиболее часто встречаются в юго-западной части листа в виде полос, пачек и ксенолитов среди гранитоидов кировоградско-житомирского комплекса.

Тела гнейсов, прослеженные в основном картировочными скважинами, обычно повторяют контуры положительных магнитных аномалий интенсивностью 200—500 гамм и вытянуты в северо-западном, реже субмеридиональном направлении (рис. 2). Естественные выходы гнейсов встречаются очень редко и наблюдаются главным образом по р. Роси, к юго-западу от г. Белой Церкви. В связи с крайне слабой обнаженностью и частями, весьма постепенными, переходами гнейсов к вмещающим породам, границы распространения их показаны как предполагаемые.

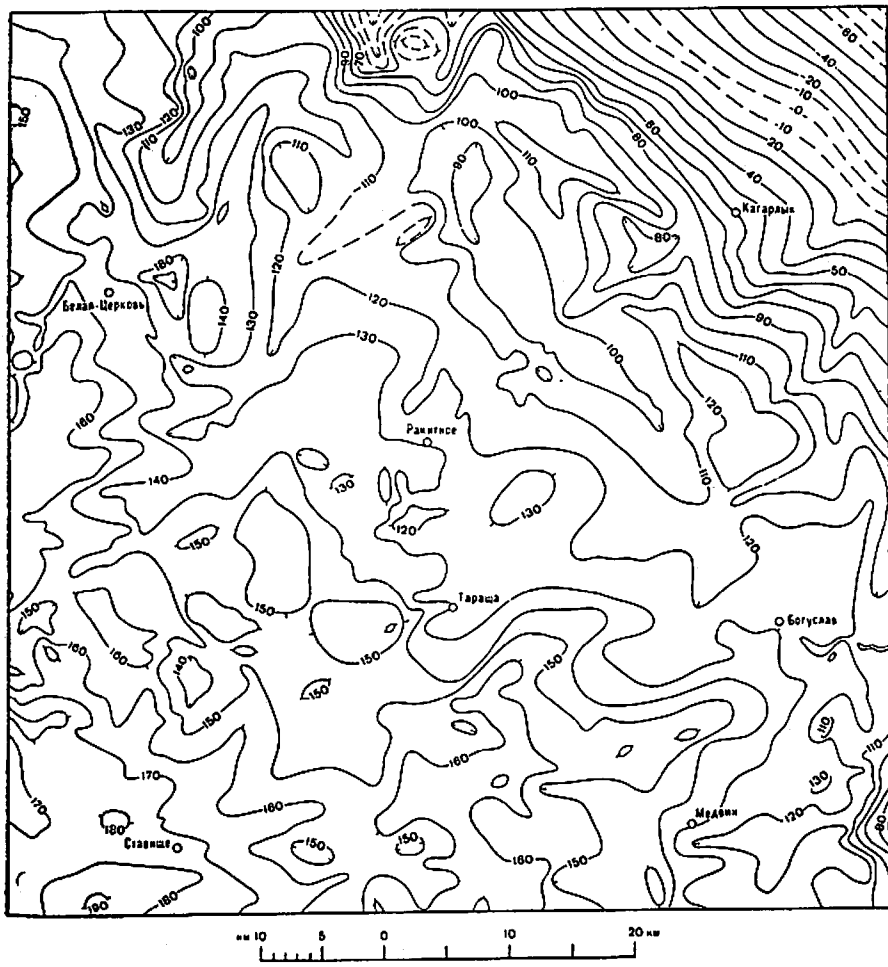


Рис. 1. Карта гипсометрии поверхности кристаллического фундамента. (Составил О. Н. Цымбал.)

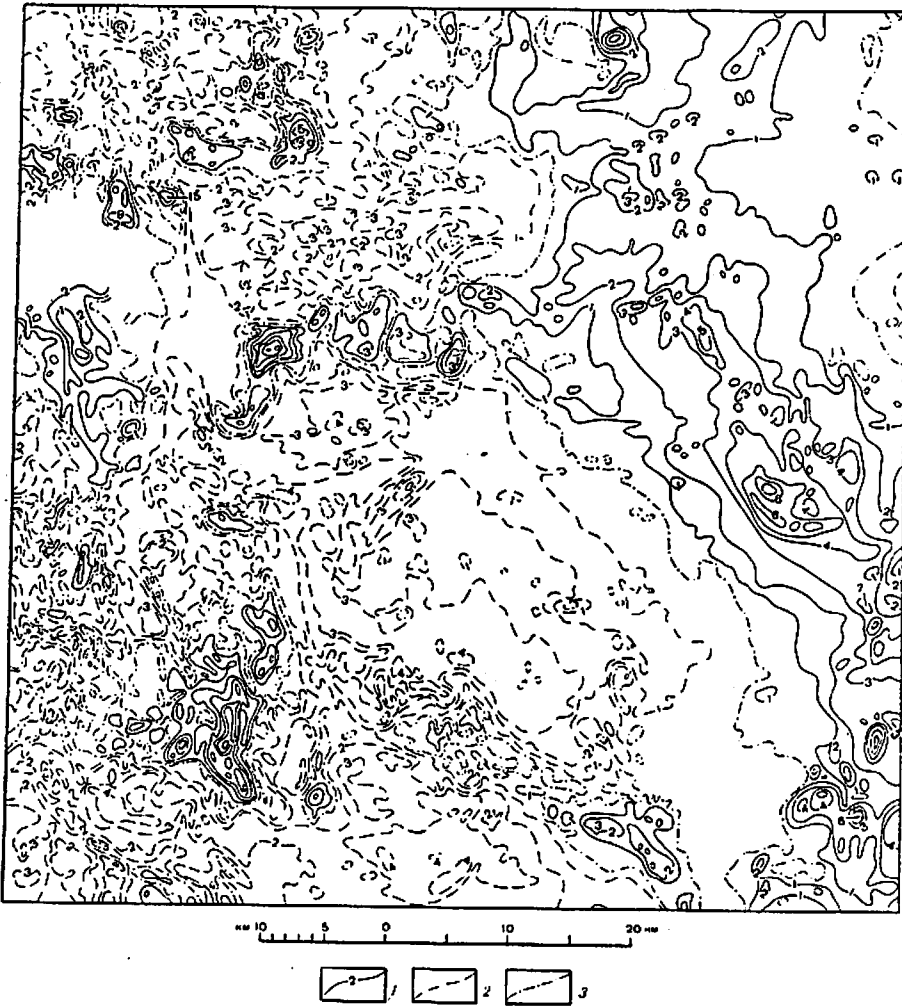


Рис. 2. Карта изодинам Za. (Составили А. И. Григорьев, Г. Н. Засец.)
1 — изодинамы положительных значений магнитного поля; 2 — изодинамы нулевого значения магнитного поля; 3 — изодинамы отрицательных значений магнитного поля. Оцифровка изодинам в сотнях гамм.

Гнейсы пироксено-плагиоклазовые и амфиболо-пироксено-плагиоклазовые (*lgnpA*), относящиеся к наиболее древним докембрийским образованиям исследованной территории, пользуются крайне ограниченным распространением и встречены картировочными скважинами к северо-западу от с. Олейниковской Слободы и на северо-восточной окраине с. Ворошиловки, в пределах положительных магнитных аномалий интенсивностью 300—500 гамм среди порфировидных (кировоградских) гранитов.

Пироксено-мелкозернистые гнейсы представляют собой темно- или зеленовато-серую породу с неясно выраженной полосчатостью, обладающую гранобластовой структурой.

Породообразующие минералы: плагиоклаз-лабрадор (77%) и пироксен-диопсид (17%); акцессорный — апатит; рудные — магнетит и ильменит. По периферии зерен пироксена часто развивается роговая обманка, при резком возрастании количества которой гнейс переходит в амфиболо-пироксено-плагиоклазовый. Изредка пироксен замещается биотитом. Среди выветрелых гнейсов встречаются прослои сидерита (химический анализ приведен в таблице).

Гнейсы амфиболо-биотито-плагиоклазовые (*gnaA*) пользуются ограниченным распространением и встречаются в виде ксенолитов, пачек и небольших согласных полос среди гранитов и мигматитов кировоградско-житомирского комплекса. Наиболее крупные тела гнейсов вскрыты буровыми скважинами в районе сел Тадиевки и Коженики, а также зафиксированы в обнажении по р. Роси в с. Пилипчка. Гнейсы часто прорваны согласными жилами гранита и пегматита, количество которых местами настолько возрастает, что гнейсы постепенно переходят в тонкополосчатые биотито-амфиболовые мигматиты-arterиты. Амфиболо-биотито-плагиоклазовые гнейсы представляют собой серую и темно-серую до черной, мелкозернистую, реже среднезернистую полосчатую породу с лепидогранобластовой, реже нематобластовой структурой. Плагиоклаз, присутствующий в количестве 30—65%, относится к олигоклазу. Очень редко замещается микроклином. Роговая обманка (35—45%) изредка замещена биотитом, эпидотом. Биотит присутствует в значительных количествах (15—35%), изредка развивается по роговой обманке. Кварц обычно присутствует в количестве 10—15% и только в гранитизированных гнейсах количество его возрастает до 25—30%. Аксессорные минералы — апатит, титанит, циркон; рудные — ильменит, лейкоксен, пирит, магнетит.

Гнейсы биотито-плагиоклазовые (*gnbiA*) пользуются наибольшем широким распространением среди пород гнейсовой серии. Мощные полосы биотито-плагиоклазовых гнейсов, протяженностью 5—15 км, прослежены буровыми скважинами в районе сел Шкаровки — Коженики, Пилипчи — Малой Ольшанки, Сорокотяги, к западу и юго-западу от с. Коржевки, к западу от с. Чупиры, сел Потоки — Рижки, Побережки — Крутые Горбы. Границы вышеупомянутых полос обычно укладываются в контурах положительных магнитных аномалий интенсивностью 200—500 гамма, изредка выходя на отрицательные поля и, как правило, вытянуты в субмеридиональном и северо-западном направлениях. Залегают они среди гранитов и мигматитов кировоградско-житомирского комплекса, реже амфиболитов. Довольно часто гнейсы встречаются в виде тонких согласных пачек и оплавленных ксенолитов среди мигматитов, обнажающихся по р. Роси в районе г. Белой Церкви.

Гнейсы в значительной степени гранитизированы, реже окварцованны, прорваны многочисленными послойными жилами гранита, количество которых на отдельных участках настолько возрастает, что гнейсы переходят в тонко-полосчатые мигматиты-arterиты.

Биотито-плагиоклазовые гнейсы представляют собой серую и темно-серую мелкозернистую, реже среднезернистую, породу с ясно выраженной полосчатостью. Структура лепидогранобластовая; текстура полосчатая. Породообразующими минералами являются плагиоклаз, биотит, кварц. В гранитизированных гнейсах в небольших количествах присутствует микроклин.

Акцессорные минералы — титанит, апатит, циркон, монацит; рудные — пирит, ильменит, лейкоксен, магнетит. Плагиоклаз (40—65%) представлен олигоклазом, образует таблитчатые зерна, которые часто пелитизированы и

**Факультет химии и технологии
и факультет геологии
Университета «Киевский политехнический институт им. Игоря Сікорського»
відкривають**

Компо-ненты	1		2		3		4		5		6		7		8		9		10		11	
	вес %	Мол. к-во %	вес %	Мол. к-во %	вес %	Мол. к-во %	вес %	Мол. к-во %	вес %	Мол. к-во %	вес %	Мол. к-во %	вес %									
SiO ₂	47,87	780	50,87	847	58,54	975	52,26	870	58,67	—	44,98	—	56,74	—	40,59	—	66,98	—	69,35	—	65,43	—
TiO ₂	1,79	23	1,68	21	0,75	9	0,63	8	—	—	0,79	—	1,01	—	0,47	—	0,36	—	0,44	—	1,88	—
Al ₂ O ₃	19,73	385	13,08	256	15,18	298	8,05	157	1,18	—	16,34	—	17,48	—	19,18	—	17,95	—	11,91	не обн.	14,46	16,39
Fe ₂ O ₃	2,39	30	2,01	24	0,53	7	2,96	37	0,50	—	5,09	—	2,29	—	9,18	—	2,24	—	2,68	—	3,76	—
FeO	8,17	114	9,41	131	6,24	87	6,42	89	3,20	—	2,69	—	4,47	—	9,18	—	0,04	—	0,07	—	0,05	—
MnO	0,15	2	0,24	3	1,0	14	0,14	2	0,03	—	—	—	1,11	—	—	—	—	—	—	—	—	—
CaO	6,49	116	3,94	70	4,0	71	13,45	241	0,20	—	6,31	—	6,36	—	1,46	—	3,80	—	1,90	—	2,82	—
MgO	5,09	127	9,90	245	7,50	186	11,69	290	29,60	—	7,53	—	4,53	—	0,10	—	1,88	—	1,18	—	1,77	—
Na ₂ O	1,20	38	0,97	31	2,46	79	0,80	26	—	—	0,24	—	2,75	—	1,05	—	4,40	—	2,35	—	2,56	—
K ₂ O	1,35	29	5,04	107	2,47	52	1,00	22	—	—	1,65	—	2,25	—	2,27	—	1,13	—	5,65	—	4,61	—
P ₂ O ₅	0,52	8	0,17	2	0,26	3	0,06	1	0,02	—	0,08	—	0,10	—	0,15	—	0,16	—	0,178	—	0,418	—
SO ₃	0,80	—	0,42	—	0,10	—	1,89	—	0,20	—	0,40	—	0,26	—	0,28	—	0,21	—	0,36	—	0,19	—
CO ₂	—	—	0,37	—	0,15	—	—	—	0,22	—	—	—	—	—	—	—	—	—	0,38	—	—	—
Ni	—	—	—	—	—	—	—	—	—	—	—	—	—	—	—	—	—	—	—	—	—	—
Co	—	—	—	—	—	—	—	—	—	—	—	—	—	—	—	—	—	—	—	—	—	—
Ca ₂ O ₃	—	—	—	—	—	—	—	—	—	—	—	—	—	—	—	—	—	—	—	—	—	—
H ₂ O-	1,04	116	0,12	44	0,07	8	0,20	22	0,29	—	4,80	—	0,08	—	3,50	—	0,11	—	0,09	—	0,10	—
П. п. п.	4,03	—	1,58	—	1,28	—	1,80	—	5,12	—	8,92	—	1,51	—	9,46	—	0,76	—	0,38	—	0,89	—
Сумма	100,62	99,80	100,53	100,41	100,41	99,52	100,24	99,60	100,02	—	99,86	—	100,24	—	99,46	—	99,86	—	99,46	—	99,86	—

Числовые характеристики по А. Н. Заварицкому

	Номера анализов										
	1	2	3	4	5	6	7	8	9	10	11
a	4,98	9,33	8,69	3,02	—	3,48	9,55	6,87	11,24	13,38	11,84
c	8,62	3,92	4,72	3,40	—	11,56	7,30	1,99	4,58	2,32	3,29
b	26,69	28,01	21,16	38,29	—	20,80	15,82	39,88	8,62	5,12	12,43
s	59,71	58,74	65,43	55,29	—	64,16	67,33	51,26	75,56	79,18	72,44
a'	23,93	—	7,83	—	—	—	—	46,55	39,07	25,34	48,20
f'	40,68	38,07	33,85	21,13	—	38,93	46,46	52,87	24,22	52,00	28,04
m'	35,39	59,04	58,32	47,91	—	71,37	49,56	0,57	36,71	22,66	23,24
e'	—	2,89	—	30,96	—	10,30	3,98	—	—	—	—
n	56,71	22,46	60,31	54,59	—	16,66	65,44	42,00	85,03	38,79	45,55
t	2,86	2,42	0,92	0,91	—	1,32	1,35	0,88	0,36	0,43	1,00
φ	8,35	5,78	2,19	6,11	—	24,42	12,39	28,35	—	—	—
Q	0,84	5,10	8,76	1,14	—	9,80	8,26	13,21	24,06	29,28	17,91

Причение. 1 — гнейс пироксено-плагиоклазовый, с. Олейникова Слобода; 2 — гнейс амфиболо-биотитовый (ксенолит), г. Белая Церковь; 3 — гнейс биотито-плагиоклазовый, с. Глыбочка, правый берег р. Роси; 4 — пироксенит амфиболитизированный, с. Охеговка; 5 — талько-хлоритовая порода, г. Белая Церковь; 6 — габбро-амфиболит, с. Россавка; 7 — амфиболит гранитизированный, с. Казаковка; 8 — амфиболит биотитизированный, с. Черняховка. 9 — диорит, г. Белая Церковь; 10 — кварцевый диорит, г. Белая Церковь; 11 — гранит порфировидный, с. Остров, правый берег р. Роси.

серцитизированы, реже эпидотизированы. Биотит (25—40%) представлен ориентированно расположеными удлиненными чешуйками. Как включения в биотите присутствуют мелкие зернышки циркона, апатита, титанита. Кварц присутствует в количествах 10—30% (химический анализ приведен в таблице).

Основные и ультраосновные породы. Пироксениты полевошпатовые (σA). Встречены картировочной скважиной в с. Охеговке, где залегают среди амфиболито-пегматоидных гранитов в контуре магнитной аномалии интенсивностью 300 гамм, вытянутой в широтном направлении. Пироксениты амфиболизированы, участками окварцованны, представляют собой зеленовато-черную мелкозернистую массивную породу с порфиробластовой, участками пойкилобластовой структурой. Минеральный состав: пироксен, плагиоклаз, роговая обманка; акцессорные минералы — титанит, рутил; рудные — пирит; вторичные — кварц. Пироксен (30%) представлен диопсидом в виде бесцветных и светло-зеленых короткоприматических зерен. Роговая обманка (40—70%) образует крупные порфировидные выделения призматического габитуса и зерна неправильной формы, развивающиеся в процессе замещения пироксена. Плагиоклаз (10—25%) представлен андезином (см. таблицу).

В г. Белая Церковь скважиной, пробуренной на территории авторемонтного завода, среди амфиболитов вскрыты пачки глубоко измененных ультраосновных пород. Среди них по минеральному составу выделяются: хлорито-тальковые и tremolito-тальковые породы, tremolититы, листениты и тальковые сильно окварцованные породы. Макроскопически это зеленовато-серые, волокнистые или чешуйчатые породы с гнездообразными скоплениями талька и хлорита. В описанных породах установлено присутствие NiO в количествах 0,05—0,22% и Cr₂O₃ 0,17—0,28% (см. таблицу).

Горнблендит встречен по р. Гнилой Тикич в с. Кучковке в виде крупных (1,5—2 м) ксенолитов среди житомирских гранитов. Макроскопически это зеленоватая темно-серая мелкозернистая порода с прожилками вторичного кварца. Структура гранобластовая, текстура массивная, участками сланцеватая. Горнблендит существенно сложен роговой обманкой (85%), образующей шестоватые короткоприматические зерна. Местами наблюдается переход роговой обманки в tremolит. Часто замещается биотитом. Биотит (15%) в основном вторичного происхождения, за счет замещения роговой обманки. Горнблендит, возможно, образовался в результате полной амфиболитизации пироксена.

Габбро-амфиболиты и амфиболиты (ταA). Габбро-амфиболиты встречены скважинами к западу от с. Горохового и с. Росавки, где они залегают в виде небольших тел среди порфировидных (кировоградских) гранитов. Представляют собой зеленовато-серую мелко- и среднезернистую породу, пронизанную тонкими прожилками карбоната. Структура габбровая. Породообразующие минералы: плагиоклаз, роговая обманка, пироксен; вторичные — джефферинит, серцит, эпидот, карбонат; акцессорные — апатит; рудные — ильменит, гематит, гидрогематит. Плагиоклаз (25—45%) представлен андезином. Образует таблитчатые зерна с тонкими двойниками. Роговая обманка (30—35%) присутствует в виде призматических зерен и зерен неправильной формы. Часто замещается хлоритом. Пироксен ромбический (10%), образует короткоприматические зерна, местами замещается роговой обманкой.

Амфиболиты пользуются довольно широким распространением, образуя сравнительно крупные тела, площадью 15—50 км², в районах г. Тараща, сел Крива, Улашевки, Казаковки, Коряковки, Сидоровки, а также мощные полосы, протяженностью 5—8 км в районе сел Рижки, Чупиры, Красное. Амфиболиты также встречаются в виде многочисленных мелких ксенолитов среди гранитов, мигматитов и гранодиоритов кировоградско-житомирского комплекса. Наиболее крупные тела амфиболитов сконцентрированы в юго-западной части листа, в контурах положительных магнитных аномалий интенсивностью 100—500 гамм, часто повторяя конфигурации последних.

Амфиболиты в различной степени подвергались воздействию последующих гранитных интрузий, что привело к гранитизации, окварцеванию и биотитизации их.

По минеральному составу выделяются следующие разновидности амфиболитов: микроклинизированные и биотитизированные, биотитизированные, окварцованные, биотито-эпидотизированные. Перечисленные разновидности встречаются совместно, обрашают едва уловимые переходы и макроскопически неотличимы.

Амфиболиты представляют собой темно-серые до черных, мелкозернистые, реже среднезернистые, породы с лепидогранобластовой, реже гранобластовой, структурой. Минералогический состав: роговая обманка, плагиоклаз, биотит, кварц, микроклин, эпидот, клиноцизит, хлорит; акцессорные минералы — титанит, апатит, циркон, рутил, ортит; рудные — пирит, магнетит, ильменит, лейкоксен. Роговая обманка (20—67%) образует короткоприматические и неправильной формы зерна. Часто полностью или по периферии зерен замещается биотитом. Плагиоклаз представлен главным образом олигоклаз-андезином, реже олигоклазом и андезином. Полисинтетические двойники обычно хорошо выражены. В гранитизированных разностях плагиоклаз частично замещается микроклином, а в окварцованных он содержит пойкилитовые вrostки кварца. Биотит развивается в большинстве случаев по роговой обманке (см. таблицу).

АРХЕЙ-НИЖНИЙ ПРОТЕРОЗОЙ

Крупные тела гранитоидов этого комплекса занимают почти всю площадь листа и сложены сериной пород, резко отличающихся по внешнему облику, но весьма сходных по условиям формирования и минеральному составу. Интрузии магмы данного комплекса сопровождались процессами инъекций, ассимиляции и гибридизации гнейсовой толщи, что привело к образованию

серии мигматитов и гибридных пород — диоритов и гранодиоритов. Среди данного комплекса пород развиты: плагиграниты и их мигматиты, равномернозернистые (житомирские) граниты и их мигматиты, порфировидные (кировоградские) граниты и их мигматиты, гранодиориты и диориты, аплито-пегматоидные граниты и их мигматиты, аплиты и пегматиты.

Кировоградско-Житомирский комплекс

Диориты, кварцевые диориты и гранодиориты ($\text{удA} - \text{Pt}_1$) генетически тесно связаны с гранитами кировоградско-житомирского комплекса и залегают среди последних в виде согласных пачек и полос, а местами и небольших тел изометричной формы, вытянутых согласно господствующему северо-западному простиранию, обычно в контурах положительных магнитных аномалий интенсивностью 100—400 гамм.

Диориты встречаются буровыми скважинами в районе сел Петрово, Сущан, Блоценцев, Савинцев, Полковничего Хутора. Кварцевые диориты, тесно связанные с диоритами и отличающиеся от них резко повышенным содержанием кварца, встречаются среди порфировидных гранитов в районе сел Островой Могилы, Любча, Момоты. Макроскопически диориты и кварцевые диориты неотличимы и представляют собой серые, темно-, реже зеленовато-серые породы, часто с крупными выделениями роговой обманки таблитчатой формы. Структура гипидноморфнозернистая. Минеральный состав: плагиоклаз, роговая обманка, биотит, кварц; акцессорные минералы — апатит, циркон, титанит, очень редко ортит и монацит; рудные — ильменит, магнетит, пирит. Плагиоклаз представлен олигоклаз-андезином, реже андезином. Количество его в диоритах колеблется от 70 до 85%, в кварцевых диоритах 45—50%. Роговая обманка (5—35%) образует неправильные зерна. Часто от центра к периферии зерен наблюдается замещение биотитом. Биотит (5—27%) в виде удлиненных пластинок с обвальным краями обычно расщеплен на тончайшие пластинки. Кварц присутствует в диоритах в количестве 2—5%, в кварцевых диоритах 12—15% и выполняет промежутки между зернами плагиоклаза.

Гранодиориты вскрыты буровыми скважинами во многих пунктах исследованной территории — в селах Гребенки, Саливонки, Пологи, Ивановки, Пилипчи, Василихи, Журавлихи и др. Макроскопически это темно- и розовато-серые среднезернистые массивные породы с гипидноморфозернистой структурой. Минеральный состав их следующий: плагиоклаз, роговая обманка, биотит, кварц, микроклин; акцессорные — циркон, апатит, титанит, монацит, ортит; рудные — магнетит, ильменит, лейкоксен, пирит, гидрогетит. Плагиоклаз представлен олигоклаз-андезином. Иногда замещается микроклином. На контакте с микроклином прорастает вrostками кварца (мирмекит). Роговая обманка (5—25%) образует призматические, реже угловатые зерна. Местами замещается биотитом, реже эпидотом и ционзитом. Биотит (15—30%) присутствует в виде чешуек с изрезанными краями. Местами замещается эпидотом, хлоритом. Микроклин (от единичных знаков до 15—20%) в виде таблитчатых зерен с неясной микроклиновой решеткой замещает плагиоклаз, изредка прорастает кварцем (химический анализ приведен в таблице).

Плагиограниты и их мигматиты ($ypA - Pt_1$) бассейна р. Гнилой Тикич, отнесенные рядом исследователей (Н. И. Безбородко, Ю. Ю. Юрк, А. Е. Фурса) к наиболее древним образованиям кировоградско-житомирского комплекса, прослежены буровыми скважинами в юго-восточной части листа, где образуют крупное тело, уходящее к югу за пределы листа. Чистые разности плагиогранитов встречаются сравнительно редко. На большей площади массива развиты их мигматиты, образовавшиеся вследствие ассилиляции гранитной магмой биотито-плагиоклавовых, биотито-амфиболовых гнейсов и амфиболитов. В зависимости от исходных пород наблюдаются биотитовые и биотито-роговообманковые мигматиты, чередующиеся с согласными полосами гранитов. Макроскопически плагиограниты серые, средне- и крупнозернистые, реже мелкозернистые. В отличие от гранитов мигматиты обладают четко выраженной полосчатостью. Граниты характеризуются резким преоблада-

нием плагиоклаза над другими породообразующими минералами, что и послужило основанием к наименованию их плагиогранитами. Структура плагиогранитов гипидноморфноэзернистая. Минеральный состав: плагиоклаз, кварц, биотит; акцессорные минералы — апатит, ортит, циркон; рудные — пирит, магнетит, лейкоксен. Плагиоклаз (60—80%) представлен олигоклазом. Образует таблитчатые зерна с первовыми краями. Кварц (12—15%) образует угловатые зерна. Угасание волнистое, реже нормальное. Биотит (8—10%) образует мелкие, сильно расщепленные и изогнутые чешуйки. Мигматиты отличаются повышенным содержанием кварца и биотита. В биотит-роговообманковых разностях присутствует роговая обманка в количестве 5—10%.

Серые равномернозернистые (житомирские) граниты и их мигматиты ($\gamma A-Pt_1$) широко развиты в южной части листа, слагая северную часть крупного тела этих гранитов, расположенного в бассейне р. Гнилого Тикича, к югу от исследованной территории. Менее крупное тело гранитов вскрыто рядом скважин в северной части листа. Кроме этого, в районе сел Тарасовки, Липовцы, Зеленок встречен ряд мелких тел гранитов.

Макроскопически описываемые граниты серые и светло-серые, мелко-, реже среднезернистые, часто с неясно выраженной полосчатостью, обусловленной линейным расположением темноцветных минералов. Характерной особенностью гранитов является обязательное присутствие наряду с биотитом мусковита, количества которого достигает 10%. Граниты очень часто в виде согласных полос чередуются с мигматитами. Переходы между ними постепенные, едва уловимые. Мигматиты отличаются четко выраженной полосчатостью и более темной окраской. Как граниты, так и мигматиты содержат мелкие ксенолиты амфиболитов и биотито-плагиоклазовых гнейсов. В свою очередь отдельные тела житомирских гранитов встречаются среди розово-серых порфировидных (кировоградских) гранитов, что свидетельствует о более древнем возрасте их по отношению к порфировидным гранитам.

Текстура гранитов массивная, структура гипидиоморфно-зернистая. Минеральный состав: плагиоклаз, микроклин, кварц, биотит, мусковит. Аксессорные минералы — апатит, циркон, сфен, титанит, монацит, ортит; рудные — ильменит, лейкоксен, пирит.

Плагиоклаз (30—40%) представлен альбит-олигоклазом, реже олигоклазом. Образует зерна неправильной и таблитчатой формы. Часто пелитизирован и серпентинизирован. Наблюдаются антипертитовые вrostки микроклина и пойкилитовые вростки кварца. Микроклин (23—55%) присутствует в виде зерен таблитчатой и неправильной формы, с неясно выраженной микроклиновой решеткой. Содержит вростки плагиоклаза и реже кварца. Микроклин образовался частично за счет замещения плягииоклаза. Биотит (4—10%) встречается в виде чешуек и пластинок с изрезанными очертаниями. Цвет зеленовато-бурый с плеохроизмом до желтовато-зеленого. Часто наблюдается в вростках с мусковитом. По трещинам развивается лейкоксей и пирит.

Мигматиты отличаются от гранитов более высоким содержанием микроклина и повышенным содержанием биотита и кварца. Структура мигматитов лепидогранобластовая, реже гранобластовая.

Розово-серые порфировидные (кировоградские) граниты и их мигматиты ($\text{УkA}-\text{Pt}_1$) в пределах листа пользуются наиболее широким распространением среди пород кировоградско-житомирского комплекса.

Кировоградские граниты занимают около 50% площади листа и как бы обрамлены с запада аплито-пегматоидными гранитами, с севера житомирскими и аплито-пегматоидными гранитами и с юга житомирскими гранитами и плагногранитами. Среди порфировидных гранитов различаются две разновидности: крупно- и мелкокорпоровидные, переходы между которыми постепенные, едва уловимые. В восточной части листа, в районе г. Богуслава, порфировидные граниты на значительной площади, около 400 км², несколько отличны по внешнему облику и количественному соотношению породообразующих минералов от розово-серых порфировидных гранитов, содержащих большое количество порфировидных выделений микроклина розовой и красновато-розовой окраски. Описываемые граниты имеют светло-серую окраску

как общей массы породы, так и порфировидных выделений микроклина. Эта разновидность порфировидных гранитов описана Безбородко Н. И., а позже Л. Г. Ткачуком (1937) как «богуславские граниты».

Порфировидные граниты часто сменяются крупными участками мигматитов или чередуются с ними в виде согласных полос. Мигматиты порфировидных гранитов в основном относятся к группе теневых мигматитов. Реже встречаются тонкополосчатые мигматиты — артериты. Граниты и мигматиты часто содержат мелкие ксенолиты биотито-плагиоклазовых гнейсов и амфиболитов. В пределах Богуславско-Мироновской тектонической зоны порфировидные граниты сильно катаклизированы и милонитизированы, участками превращены в типичные милониты. Граниты имеют гипидиоморфозернистую структуру, мигматиты — лепидогранобластовую. Минеральный состав: микроклин, плагиоклаз, кварц, биотит, роговая обманка; аксессорные минералы — апатит, циркон, титанит, монацит, ортит; рудные минералы представлены магнетитом, ильменитом, пиритом. Микроклин (15—30%) образует порфировидные вкрапленники с хорошо выраженной микроклиновой решеткой. Часто содержит реликтовые, сильно серпентинизированные зерна плагиоклаза. Плагиоклаз (25—65%) представлен олигоклазом, реже альбит-олигоклазом, образует удлиненные таблитчатые зерна с ясно выраженным полисинтетическим двойниками. Часто наблюдается замещение плагиоклаза микроклином. Кварц (до 30%) образует зерна неправильной формы, заполняющие промежутки между зернами полевых шпатов. Биотит присутствует в гранитах в количестве 8—12% и мигматитах 15—20%, образуя удлиненные и неправильной формы чешуйки. Плеохроизм от зеленовато-бурового и Ng до светло-желтого по Nr. Местами замещается хлоритом, эпидотом, мусковитом (химический анализ приведен в таблице).

Серые порфировидные граниты, развитые в районе г. Богуслава, отличаются повышенным содержанием микроклина, по отношению к плагиоклазу и меньшим количеством биотита.

Граниты аplito-пегматоидные и их мигматиты ($\gamma A - Pt_1$), являющиеся наиболее поздними образованиями кировоградско-житомирского комплекса, широко развиты в западной и северо-восточной частях листа, располагаясь по периферии огромной площади распространения порфировидных (кировоградских) гранитов. Сравнительно небольшие тела аplito-пегматоидных гранитов и их мигматитов встречены скважинами среди других гранитов кировоградско-житомирского комплекса в районе сел Степановки, Розалеевки, Коженики, Колесниково, Красногородки, Дмитриевки. Макроскопически эти граниты розово-красные и розово-серые, характеризуются частой, даже в пределах одного обнажения, сменой участков, сложенных аplitoидными мелкозернистыми разностями и участков средне- и крупнозернистых пегматоидных разностей. Среди мигматитов, отличающихся от гранитов более высоким содержанием темноцветных минералов и ясно выраженной полосчатостью, наиболее часто наблюдаются тонкополосчатые мигматиты — артериты. Довольно часты и участки теневых мигматитов. Мигматиты содержат много ксенолитов биотитовых гнейсов и амфиболитов, количество которых местами настолько возрастает, что порода приобретает облик агматита.

Картировочными скважинами в г. Белой Церкви и его окрестностях, в пределах Белоцерковской тектонической зоны, вскрыты катаклизированные граниты и мигматиты. В зонах дробления, имеющих субширотное и северо-восточное направление, описанные породы содержат сеть тонких полосок милонита. Направление полосчатости в мигматитах колеблется от СЗ—320° до СЗ—350° с крутым (60—80°) северо-восточным, реже юго-западным, падением.

Граниты имеют гранитовую, участками пегматоидную структуру. Структура мигматитов лепидогранобластовая. Минеральный состав: микроклин, плагиоклаз, кварц, биотит; аксессорные минералы — титанит, апатит, циркон, монацит; рудные — пирит, магнетит, ильменит, лейкоксейн. Микроклин (25—45%) образует таблитчатые зерна с ясно выраженной микроклиновой решеткой. Часто наблюдается прорастание зерен микроклина кварцем. В катаклизированных гранитах зерна микроклина сильно деформированы, раздроблены.

Плагиоклаз (20—40%) представлен альбит-олигоклазом, реже альбитом. Часто серпентинизирован и пелитизирован. Повсеместно замещается свежим микроклином. Кварц (15—30%) образует изометричные и угловатые зерна, часто в виде мирамекитовых вростков в плагиоклазе и микроклине. Биотит (1—5%, в мигматитах до 15—20%). Образует чешуйки с неровными изрезанными очертаниями. Цвет зеленовато- и оранжево-бурый с плеохроизмом до желто-бурового.

Пегматиты и аplitы встречаются в виде жил, реже шлировидных выделений, среди всех описанных выше докембрийских образований исследованной территории. Пегматитовые жилы обычно обладают незначительной мощностью (от 0,1—0,2 до 0,8—1,50 м, в редких случаях достигая 2,5—3,0 м). Преобладают пегматиты крупно- до гигантозернистых, реже встречаются и среднезернистые. Окраска пегматитов обычно розовая, а пегматитов, приуроченных к житомирским гранитам — серая. Часто жилы пегматитов, связанные с материнскими породами, имеют зональное строение. Изредка среди аPLITОВОЙ оторочки жил наблюдаются кристаллы апатита и магнетита, достигающие размера 3—4 см. Контакты пегматитовых жил со вмещающими породами четкие, резкие. Формирование пегматитов связано с заключительной фазой интрузивного цикла кировоградско-житомирского комплекса гранитоидов. Пегматиты исследованной территории следует отнести к недефференцированным крупнозернистым пегматитам гранитного состава с обычной минерализацией.

В зонах тектонических нарушений пегматиты, как и вмещающие породы, сильно раздроблены, местами милонитизированы. АPLITЫ встречаются значительно реже, образуя тонкие согласные, реже секущие, жилы, а также шлировидные выделения изометричной формы. АPLITЫ представляют собой мелкозернистые розово-серые, серые, изредка, белые породы массивного сложения, состоящие из полевого шпата (микроклин, плагиоклаз) и кварца. Очень редко встречаются мелкие чешуйки биотита и еще реже мусковита.

Среди гранитов кировоградско-житомирского комплекса изредка встречаются тонкие (1—15 см) извилистые жилы белого и светло-серого кварца. К северо-востоку от с. Хохтицы, в пределах Богуславской тектонической зоны среди катаклизированных гранитов наблюдается значительное количество согласных жил кварца мощностью до 25 см, с небольшими пустотами, которые выполнены мелкими, хорошо ограниченными кристаллами горного хрусталя.

Милониты встречены в пределах Белоцерковской и Богуславской тектонических зон среди катаклизированных гранитов и представляют собой темно-, зеленовато-серые и зеленовато-оливковые, тонкозернистые до сливных, породы массивного сложения с раковистым изломом. Структура милонитовая. Минералы, слагающие породу (плагиоклаз, микроклин, кварц), сильно перетерты, изменены и обладают волнистым угасанием.

В процессе милонитизации произошло окварцевание пород. Вторичный кварц выполняет трещинки и образует мелкозернистые скопления с мозаичной структурой.

Кора выветривания кристаллических пород в пределах исследованной территории пользуется крайне неравномерным распространением и сложена главным образом первичными каолинами, сохранившими структуру исходной породы. В северо-восточной и северной частях листа, в области склона кристаллического массива и борта Днепровско-Донецкой впадины, кора выветривания почти полностью смыта последующими морскими трансгрессиями в мезозойское время. Кора выветривания также отсутствует в широкой полосе по обеим берегам р. Росы, где она размыта частично в палеогеновое время, а в пределах огромной долединковой долины — в четвертичное время.

Наличие островов коры выветривания в северо-восточной части листа, перекрытых отложениями юрской системы, свидетельствует о том, что начало формирования коры выветривания на исследованной территории относится к доюрскому времени. Мощность коры выветривания колеблется от 0 до 47 м, причем наиболее часто на значительных площадях выдерживается мощность от 1—2 до 15 м. В зависимости от состава материнских пород выделяется:

- 1) кора выветривания амфиболово-биотито-плагиоклазовых и пироксено-

амфиболо-плагиоклазовых гнейсов, вскрытая рядом скважин в границах распространения материнских пород — гнейсов в районах сел Скребышки, Кожевники, Тадиевки. Представлена глинистыми, пестроокрашенными в темно-серые, серовато- и темно-зеленые тона, породами, содержащими чешуйки хлорита, биотита и зерна роговой обманки. Глинистое вещество представлено монтмориллонитом с примесью карбоната;

2) кора выветривания биотито-плагиоклазовых гнейсов широко развитая в контурах распространения материнских пород и сложенная структурными каолинами и каолинито-хлоритовыми породами, мягкими, жирными на ощупь, с хорошо сохранившейся полосчатостью. Окраска их серая, темно-зеленовато-серая и зеленая. Структура каолинов чешуйчатая, местами реликтовая. Общая масса каолинов сложена тонкочешуйчатым каолинитом (до 55%) и хлоритом (30—35%), развивающимся по биотиту. Изредка встречается монтмориллонит. В незначительных количествах (до 15%) присутствуют угловатые зерна кварца.

3) кора выветривания амфиболитов представлена глинистыми, плотными, бескварцевыми породами пестрой окраски в серых, зеленовато-серых и зеленных тонах с отдельными участками ярко-зеленого цвета, сложенных пиритом. Довольно часто, особенно в верхней части толщи, наблюдаются пропластки и участки неправильной формы, интенсивно окрашенные гидроокисями железа в яркие красные и малиновые тона. По характеру глинистых минералов различается монтмориллонитовая, каолинито-монтмориллонитовая и монтмориллонито-контактовая кора выветривания. Структура реликтовая, чешуйчатая;

4) кора выветривания гранитов, мигматитов и гранодиоритов пользуется наиболее широким распространением и представлена каолинами, сохранившими структуру материнской породы. Структурные каолины аплито-пегматитовых и житомирских гранитов отличаются светлой окраской в белых и светло-серых тонах. Отличительной особенностью каолинов порфировидных гранитов является присутствие значительного количества крупных, полностью каолинизированных, порфировидных выделений полевого шпата, рельефно выделяющихся на фоне общей массы породы, а также большого количества крупных, угловатых зерен кварца.

Каолины по мигматитам обладают ясно выраженной полосчатостью. Структурные каолины гранодиоритов отличаются пестрой окраской в темно-зеленовато-серых и зеленых тонах. Кварца в них значительно меньше, чем в каолинах из гранитов и мигматитов. Основная масса каолинов сложена каолинитом с примесью гидрослюд и хлорита. Кварц присутствует в количествах 15—25%.

ПАЛЕОЗОЙ ПЕРМСКАЯ СИСТЕМА

Верхний отдел (P_2)

Отложения, отнесенные нами к верхнему отделу пермской системы, установлены на небольшом участке в северо-восточном углу листа. Юго-западная граница их распространения проходит вдоль предполагаемой линии разлома, проходящей восточнее с. Леоповки, в районе с. Новоселки, юго-западнее с. Россавки, в районе сел Выселок, Кадомки и к югу от с. Зоревки.

Палеонтологически отложения не охарактеризованы. Основанием для отнесения их к верхнему отделу пермской системы послужило стратиграфическое положение и литологическое сходство этих отложений с аналогичными отложениями смежных районов Днепровско-Донской впадины, где они подробно изучены Т. Е. Лапчик (1958). Верхнепермские отложения залегают на глубинах от 125—130 до 200 м с небольшим уклоном на северо-восток. Абсолютные отметки кровли колеблются в пределах от —30 до +7 м. Мощность толщи 5—42 м. В подошве их залегают кристаллические породы докембрия, а в кровле — отложения батского яруса. Литологически толща пород четко разделяется на две части: нижнюю и верхнюю.

Нижняя часть представлена пестрыми пятистоокрашенными песчаниками и алевролитами, образование которых происходило в условиях опресненной лагуны. Песчаники мелко- и тонкозернистые, часто глинистые, в различной степени карбонатные, местами сильно ожелезненные. Структура их псамmito-алевритовая и алеврито-псаммитовая. Кластический материал составляет 35—60% породы и состоит из кварца (до 50%) и полевых шпатов (до 10%). Сильно карбонатные разности песчаников содержат до 18% кальцита-доломита. Цемент песчаников поровый, базальный и беспорядочно-зернистый, составляет 30—60% породы. Представлен кальцитом, сидеритом и глинистым минералом. В средней и верхней частях толщи песчаники часто замещаются алевролитами. Переходы между песчаниками и алевролитами постепенные, трудно уловимые. Кластический материал алевролитов составляет до 70% породы и состоит из кварца, полевого шпата и кальцита. Мощность нижней части толщи 5—10 м.

Верхняя часть толщи, залегающая регressive, представлена светлыми песками с прослойками песчаника и алевролита. Образование ее происходит в континентальных условиях. Пески светло-серые, мелкозернистые, кварцевые, в различной степени каолинистые, часто с мелкими чешуйками слюды. Прослои песчаника и алевролита имеют светло-серую, розовато-светло-серую и розовую окраску, обычно плотные, с мелкими чешуйками слюды и зернами полевого шпата. Мощность их довольно непостоянна и колеблется от 0,5 до 6,3 м. Общая мощность верхней части толщи 0—32 м.

Нижняя часть толщи верхнепермских отложений условно сопоставляется нами с шебелинскими свитами Т. Е. Лапчик, которая, по предположению автора, является аналогом казанского яруса. В тяжелой фракции этих отложений преобладают сидерит, ильменит, лейкоксен, гидрогетит, магнетит, циркон и гранат. В легкой фракции, кроме кварца, присутствуют разрушенные зерна полевого шпата, кальцит и халцедон.

Верхняя часть толщи верхнепермских отложений нами условно отнесена к кореневской свите Т. Е. Лапчик, которую она сопоставляет с татарским ярусом. Однако не исключена возможность более раннего начала формирования ее по времени, соответствующему формированию верхней части шебелинской свиты. В тяжелой фракции верхней части толщи главными по количеству являются: черные рудные минералы, циркон, гранат, пирит и сидерит. В значительно больших количествах, чем в отложениях нижней части толщи, присутствуют спиллинит, дистен, ставролит, турмалин, рутил и группа эпидота.

МЕЗОЗОЙ

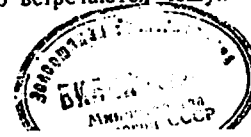
ЮРСКАЯ СИСТЕМА

Средний отдел

Батский ярус (J_2bt)

Отложения этого яруса пользуются площадным распространением в северо-восточной и северной частях листа. Небольшие островки их также известны в районе сел Михайловки — Вербового и к северо-востоку от с. Лещинки. Глубина залегания отложений батского яруса колеблется от 50 до 150 м, увеличиваясь на север и северо-восток. Абсолютные отметки кровли яруса колеблются в пределах от +112,5 до —10 м, мощность 0—61 м.

Залегают отложения батского яруса трангрессивно на размытой поверхности отложений верхнего отдела пермской системы, кристаллических породах докембра и коре их выветривания и перекрываются отложениями келловейского и сеноманского ярусов, а в местах их отсутствия — песчаниками отложениями палеогена. Представлены они толщей глини, алевролитов, песков, местами песчаников, линзами вторичных каолинов и маломощными прослойками бурого угля. Образование этих пород происходит в лагунных и континентальных условиях. Палеонтологически отложения охарактеризованы плохо. Из фаунистических остатков наиболее часто встречаются чешуи и зубы рыб.



членники криноидей. Фораминиферы редки, сохранность их часто плохая, а видовой состав беден. В споро-пыльцевом спектре батских отложений, по данным А. К. Коломейцевой и З. В. Гришко, преобладают споровые (30—76%) и хвойные (4—68%) растения. Здесь определены: *Gleichenia delicata*, *G. glauca*, *G. stellata*, *Filicales* и др.

Наиболее полно отложения батского яруса представлены к северо-востоку от предполагаемой линии разлома. В составе яруса здесь можно выделить две толщи: нижнюю, образовавшуюся, по-видимому, в раннебатское время, и верхнюю, образовавшуюся в позднебатское время. Нижнебатские отложения представлены темными алевритовыми глинами с обуглившимися остатками растений и стяжениями пирита, мощностью 8,4—12,9 м. Верхнебатские отложения этого участка сложены однообразной толщей серых и пепельно-серых тонкослоистых глин, содержащих один, а местами и два прослоя глинистого, часто доломитизированного сидерита, мощностью 0,5—40 см.

Л. А. Дигас в этих глинах определены: *Ammodiscus* cf. *varians* Карап., *A. incertus* (Огб.), *Lenticulina laevis* (Карап.), *Lenticulina* sp., *Lamarkella* sp.

К юго-западу от линии разлома нижнебатские отложения, по-видимому, отсутствуют. В узкой полосе вдоль разлома здесь залегают верхнебатские пески и алевриты, выше по разрезу переходящие в тонкослоистые глины с прослойями сидерита. Еще дальше на юго-запад большая часть верхнебатских глин замещается песками и алевритами.

В разрезе описываемых отложений в районе сел Вербового — Михайловки и северо-восточнее с. Лещинки появляются прослои песчаника. Верхнебатские отложения, распространенные в северной части листа, характеризуются меньшим постоянством разреза. Здесь наблюдается частое переслаивание песков и глин, встречаются маломощные (до 60 см) прослои бурого угля, песчаника и иногда линзы вторичных каолинов. Максимальная мощность верхнебатских отложений 61 м.

В тяжелой фракции отложений батского яруса встречены: циркон, рутил, турмалин, гранат, ставролит, дистен, силиманин, андалузит, апатит, анатаз. Титанит, эпидот, пьемонтит, хлорит, биотит, мусковит, корунд, рогобрукит, обманка, глауконит, коллофан, пирит, ильменит, лейкоксен, гидрогерит, магнетит. В легкой фракции, кроме кварца, присутствуют полевые шпаты. Глинистое вещество представлено каолинитом, галлуазитом и монтмориллонитом.

Верхний отдел

Келловейский ярус ($J_3 cl$)

Отложения келловейского яруса развиты в северо-восточной части листа. Юго-западная граница их распространения совпадает с границей распространения верхнепермских отложений. На дневную поверхность отложения этого яруса нигде не выходят, залегая на глубинах от 60 до 140 м. Абсолютные отметки кровли колеблются в пределах от +67 до —40—35 м. Максимальная мощность отложений 25 м.

Залегают они регressive на отложениях бата, перекрываясь породами альбского (?) яруса. Литологически представлены толщей алевритов и алевритовых глин, среди которых преобладают алевриты. Алевриты пепельно-, темно-серые, слюдистые, тонкослоистые, известковистые, сильно глинистые, часто переходят в алевритовые глины. Местами алевриты сильно песчанистые и переходят в мелкозернистые глинистые пески.

Породы содержат большое количество отпечатков, ядер и раковин моллюсков, фораминиферы и обуглившиеся остатки растений. Е. И. Николаевской из этих отложений определены: *Parallelodon laskevitschi* Борисс., *Astarte pulla* Роемер, *A. gibba* Нег., *Oxytoma inaequivalve* (Соу.), *Ox. inaequivalve* (Соу.) var. *borealis* Борисс., *Pseudomonotis* cf. *subechinata* Лахуцен, *Pecten* (*Entolium*) *vitreus* Роемер, *Modiola* ex gr. *subaequiplana*

cata Ром., *Macrocephalites* cf. *macrocephalus* (Schloth.), *Dicoelites* cf. *fogdii* Киттельхольц и др., на основании чего возраст толщи определяется как ранне — среднекелловейский.

Ранне- и среднекелловейский возраст толщи подтверждается также по фораминиферам. М. В. Ярцевой и Л. А. Дигас в этих отложениях определены: *Spirophthalmidium kanevi* Карап., *Sp. areniforme* Вук., *Frondicularia nitida* Терг., *F. exilis* Карап., *F. molleri* Uhlig, *Lenticulina catastropium* (Мит.), *Marginulina irregularis* Статл., *Cristellaria* ex gr. *limata* Schw., Cr. ex gr. *tatariensis* Статл., *Guttulina tatariensis* Статл., *Vaginulina* ex gr. *striata* Карап., *Nodosaria prima* Огб. и др.

В отличие от отложений бата породы келловейского яруса характеризуются большим разнообразием аксессорных минералов, наличием бесцветного граната, повышенным содержанием рутила и анатаза, повсеместным присутствием апатита, значительным содержанием слюд, граната, эпидота, малым содержанием ильменита и лейкоксена, большим количеством минералов группы карбонатов, значительным количеством опала и органических остатков. Глинистое вещество в отложениях келловейского яруса представлено монтмориллонитом.

МЕЛОВАЯ СИСТЕМА

Нижний отдел

Альбский (?) ярус (Сг; а?)

Отложения, условно отнесенные нами к альбскому ярусу, на территории листа М-36-ХІХ распространены на той же площади, что и отложения келловейского яруса. Представлены они толщей песков, песчаников и алевритов, трудно отличимых от вышележащих отложений сеноманского яруса и составляющих вместе с ними единый цикл осадконакопления. Основанием для их отнесения к альбскому ярусу послужили находки в основании песков и песчаников сеномана фауны фораминифер, по заключению М. В. Ярцевой и Л. А. Дигас отличающихся как от юрских, так и верхнемеловых форм.

В песках и песчаниках обнаружены: *Lagenula aciculosa* Reuss, *Nodosaria* ex gr. *obscura* Reuss, *Marginulina* aff. *texanensis* Cushm., *M. aff. jarvisi* Cushm., *Höglundina* cf. *reticulata* (Reuss), *Anomalina* ex gr. *planodorsa* (Said.), *A. aff. bivinoluta* Статл., *Globigerina* ex gr. *infractacea* Glaess., *Valvularia* aff. *lenticula* (Reuss) и др., на основании чего возраст толщи определяется как раннемеловой, скорее всего альбский. Залегают отложения альбского яруса на размытой поверхности пород келловея. С вышележащими песками и песчаниками сеномана они связаны очень постепенно, в ряде случаев почти неуловимыми, переходами и поэтому часто описываются совместно. Глубина залегания толщи колеблется от 55 до 135 м. Абсолютные отметки кровли колеблются от 46 до 112,8 м. Мощность отложений 0—5 м.

Пески альбского яруса серые и светло-серые, мелкозернистые, кварцевые, местами слабоглинистые и известковистые, с большим количеством зерен глауконита и обломками раковин моллюсков. Песчаники обычно серые и светло-серые, мелкозернистые, прослоями грубозернистые, к подошве часто гравелистые, кварцевые и глауконито-кварцевые, часто слабо известковистые, очень плотные, с раковистым изломом. Цемент их кремнистый, реже карбонатный.

Западнее с. Россавки к альбскому ярусу нами отнесена толща алеврита мощностью 4 м. Алеврит серый, слюдистый, песчанистый, слабоуглистый, с большим количеством зерен глауконита.

По минеральному составу от вышележащих пород сеноманского яруса альбские отложения отличаются несколько большим содержанием циркона, рутила, титанита, силиманиита, дистена, ставролита, турмалина, наличием хлорита, большим количеством ильменита и лейкоксена.

Верхний отдел

Сеноманский ярус (Cr_2cm)

Морские отложения сеномана в прошлом покрывали большую часть территории листа, однако в результате интенсивных размывов в палеогене на значительной части территории были полностью уничтожены. Сохранились они в наиболее погруженной северо-восточной части листа к северо-востоку от линии разлома, ограничивающей распространение нижнemеловых отложений. Ими выполнены также две депрессии в кристаллическом фундаменте. Первая из них (Лубянско-Перегоновская) расположена в центральной части северной половины листа, а вторая (Медвии-Сидоровская) в его юго-восточной части.

юго-восточной части.

Небольшой островок отложений сеноманского яруса установлен в районе с. Тростянская Новоселица. Подстилаются отложения сеноманского яруса в северо-восточной части листа альбским (?) отложениями. На остальной территории подошвой им служат породы кристаллического фундамента и кора их выщеривания и лишь в отдельных случаях песчано-глинистые отложения бата. Перекрываются они отложениями каневских и бу-чакских слоев палеогена. Залегают породы сеноманского яруса трансгрес-сивно, на глубинах от 28 до 123 м. Абсолютные отметки кровли их колеб-лются в пределах от 118 до 50 м. Мощность яруса обычно не превышает 5–8 м в отдельных случаях увеличиваясь до 17 м.

На горизонтах четко выделяются две

В составе яруса по литологическим признакам четко выделяются две толщи: нижняя, представленная песками и песчаниками, и верхняя, представленная мергелями. Первая из них пользуется повсеместным распространением, вторая установлена только на небольшом участке к юго-востоку и северо-западу от с. Розалеевки (Лубянско-Перегоновская депрессия).

В Медвин-Сидоровской депрессии нижняя часть сеноманского яруса сложена песками. В северо-восточной части листа среди песков встречаются прослои песчаника, мощностью 0,2—0,5 м, которые в отдельных скважинах полностью слагают разрез яруса. В Лубянско-Перегоновской депрессии преобладают песчаники, слагающие большую верхнюю часть разреза, реже весь разрез или нижнюю часть его.

Пески нижней части сеноманского яруса серые, светло-зеленые и зеленые и темно-зеленые, мелко-, реже разнозернистые, кварцевые и глауконито-кварцевые, часто слабоуглистые и глинистые, редко известковистые, местами с галькой кварца и обломками темно-серого кремня в основании. В толще песка встречаются мелкие стяжения пирита, обломки кораллов, мшанок, моллюсков, спикулы губок.

Песчаники нижней части сеноманского яруса серые и зеленовато-серые, мелкозернистые, редко разнозернистые, кварцевые и глауконит-кварцевые, изредка слабоизвестковистые. Мощность их 0,4—6,6 м. Под микроскопом структура песчаников псаммитовая, очень редко на отдельных участках пелито- псаммитовая. Классический материал составляет 65% породы и состоит из кварца (20—57%), полевого шпата (до 5%) и глауконита (1,0—15,0%). Цемент песчаников составляет 35—75% породы, по типу он базальный, местами на отдельных участках поровый и разъединяющий. Представлен опалом и халцедоном. Распределение цемента в породе неравномерное.

Верхняя часть сеноманского яруса, как упоминалось выше, представлена толщей мергелий. Мергели белые, мелоподобные, к подошве светло-серые, песчанистые, с большим количеством мелких стяжений фосфорита, постепенно переходят в нижележащие пески и песчаники. Мощность их колеблется от 0,4 до 2,5 м.

Сеноманский возраст пород подтверждается фауной моллюсков ракинифер. Среди моллюсков Е. И. Николаевской были определены: *Pecten* (*Aequipecten*) *asper* Lamk., *Exogyra conica* (Sow.), *Rhynchonella nucifor-mis* (Sow.), *Terebratula* (*Concinnithyris*) *obesa* Sow., *Terebratula* ex gr. *striata* (Wahl.), *Actinocamax primus* Arkhang. и др.

Фораминиферы сеноманского яруса по определению Т. Б. Губкиной представлены следующими видами: *Gumbelitria senomana* (Keller), *Valvularia bilamellosa* Balakh., *Cibicides jarcevae* Vass., *Anomalina senomonica* Brozen, *Rotalipora appenninica* (Renz.) и др.

В тяжелой фракции пород сеноманского яруса установлены: циркон, рутил, титанит, силиманин, дистен, андалузит, топаз, ставролит, апатит, коллофан, турмалин, биотит, эпидот, гранат, волластонит, везувиан, ильменит, лейкоксит, гидрогеитит, пирит, глауконит. В легкой фракции: кварц, полевые шпаты, глауконит, кальцит, опал.

КАЙНОЗОЙ

ПАЛЕОГЕНОВАЯ СИСТЕМА

Эоцен

КАНЕВСКИЕ СЛОИ (Pg₂ c)

Отложения каневских слоев распространены в северо-восточной части листа и залегают трансгрессивно, на размытой поверхности отложений меловой и юрской систем, а в местах их отсутствия — непосредственно на кристаллических породах. Глубина залегания их колеблется от 30 до 115 м. Абсолютные отметки кровли слоев снижаются к северо-востоку от +104 до +50 м. Средняя мощность ее 10—15 м, максимальная 38 м. Перекрываются отложения каневских слоев согласно отложениями бучакских слоев. Ввиду однообразия литологического состава и частично низкого выхода керна, нижняя и верхняя границы слоев часто устанавливаются нечетко. До настоящего времени при описании керна буровых скважин эти отложения объединялись совместно с бучакскими и как самостоятельная стратиграфическая единица на территории листа не выделялись.

литологически отложения каневских слоев представлены песками. Подчиненное значение имеют глины, алевриты, песчаники и бурые угли. В составе слоев выделяются морские мелководные и прибрежные отложения.

Наиболее широко развиты морские мелководные отложения, представленные толщей песков. Пески серые, зеленовато-серые и серовато-зеленые, мелкозернистые, редко тонко- и разнозернистые, кварцевые и глауконито-кварцевые, в различной степени глинистые, часто с тонкими прослойками черной тонкопесчанистой глины, обычно приуроченными к подошве.

Прибрежные отложения каневских слоев наблюдаются на отдельных участках вдоль современной, эрозионной границы распространения их. Представлены они песками, глинами, алевритами, песчаниками и бурьми углами. В разрезе преобладают пески. Они становятся более углистыми и темноокрашенными, увеличивается содержание глинистых частиц и уменьшается содержание глауконита. Глины и песчаники обычно приурочены к основанию свиты, а в отдельных скважинах глинами сложен весь разрез ее. Алевриты и бурые угли чаще встречаются в верхней части толщи. Глины и алевриты каневских слоев темноокрашены, слюдистые, углистые, песчанистые, тонкослоистые. Мощность их колеблется от 1,8 до 18,5 м. Песчаники мелкозернистые, кварцевые, плотные, углистые, слоистые, с мелкими чешуйками слюды. Цемент песчаников кремнистый. Бурый уголь встречен отдельными скважинами в районе Кагарлыка. Мощность его достигает 2,0 м.

фаунистически отложения каневских слоев охарактеризованы плохо. Только в одной из скважин обнаружены фораминиферы, причем в виде плохого подъема керна они носят смешанный характер, представляя смесь палеогеновых и позднемеловых видов. Представлены они, по данным М. В. Ярцевой, следующими формами: *Eponides (Epistominella?) gratus* (Reuss), *Bolivina ex gr. simplex* Balachm., *Turrilina ex gr. robertsi* (Howe et Ellis.), *Acarinina intermedia* Subb., *Cibicides ex gr. sahlstrani* Brotz. и др.

Для тяжелой фракции отложений каневских слоев характерно значительное содержание эпидота и граната, ильменита и лейкоксена, циркона и турмалина, обязательное присутствие дистена, ставролита, рутила, значительное содержание глауконита и коллофана.

БУЧАКСКИЕ СЛОИ (Pg₂ b)

Отложения бучакских слоев развиты на значительной части территории листа. На левобережье р. Роси они распространены почти повсеместно. На правобережье они обычно приурочены к пониженным участкам кристаллического фундамента, древним депрессиям — долинам, и очень редко в виде небольших островков встречаются на возвышенных участках кристаллического ложа. В послебучакское время они подвергались интенсивному размыву, особенно сильному в южной половине листа (рис. 3).

В обнажениях отложения бучакских слоев не встречаются и залегают на глубине от нескольких метров до 95—100 м. Абсолютные отметки кровли колеблются в пределах от 180 до 85,8 м. Максимальная мощность слоев 25—30 м. Представлены отложения бучакских слоев песками, алевритами, глинами, песчаниками, бурыми углами и вторичными каолинами. В составе слоев, несколько условно, можно выделить морские мелководные, прибрежные и континентальные отложения. Морские мелководные отложения распространены в северо-восточной части листа и представлены толщей серых, разнозернистых, кварцевых, реже глауконито-кварцевых песков с прослоями песчаника и песчанистых слоистых глин и алевритов, мощностью до 1 м. Из органических остатков здесь встречаются зубы, чешуя и позвонки рыб, единичные кораллы, мшанки, спикулы губок, изредка фораминиферы и моллюски. Состав фауны моллюсков смешанный и, по данным Е. И. Николаевской, соответствует низам киевских и верхам бучакских слоев. Фауна часто необычна по размерам. Большинство встреченных видов очень мелкие. Представлены они следующими видами: *Nucula* sp., *Lucina elegans* Desfrance*, *Tellina ex gr. rostralina* Desh., *Tellina* sp., *Laevicardium (Trachycardium) ex gr. coesmanni* Vincent, *Nemocardium cf. parile* Desh., *Nemocardium* sp., *Astarte* sp., *Crassatella woodi* Конен., *Crassatella* sp. ind., *Cardita (Venericardia) ex gr. borissjaki* Sok., *Cardita (Venericardia)* sp., *Pitar (Callista)* sp. ind., *Marcia (?)* sp., *Barbatia cf. appendiculata* Sow., *Pectunculus pulvinatus* Lamk., *Limopsis granulata* Lamk., *Ostrea* sp. ind., *Corbula autocophora* Morlet., *Corbula ficus* Sol., *Corbula* sp., *Corbula pisum* Sow.

Среди фораминифер, не дающих точного указания на возраст толщи, М. В. Ярцевой определены: *Nonion cf. laevis* Orb., *Nonionella ex gr. winniana* Howe., *Asterigerina* sp., *Cibicides ex gr. praecursorius* (Schw.), *C. ex gr. ventratumides* Mjatl.

К юго-западу морские мелководные отложения постепенно замещаются прибрежными и континентальными, пользующимися значительным распространением как на левобережье, так и на правобережье р. Роси. Основную часть разреза здесь составляют пески, однако в ряде мест они полностью или частично замещаются алевритами, глинами, песчаниками, бурыми углами и вторичными каолинами, стратиграфическое положение которых весьма изменчиво.

Значительным распространением пользуются песчаники, мощность которых достигает 3,3 м, в районе сел Гребенки, Сидоровки.

Бурые угли встречены в районе сел Озерного, Медвина, Тарасовки. Вторичные каолины распространены южнее сел Гребенки, Однорог, северо-восточнее с. Острой Могилы и в ряде других пунктов.

* Из двенадцати определенных до вида форм отмеченные знаком * известны в нижней части киевских слоев и верхней части бучакских слоев Украины. Остальные виды встречаются главным образом в мелководной фации верхнего эоценена.

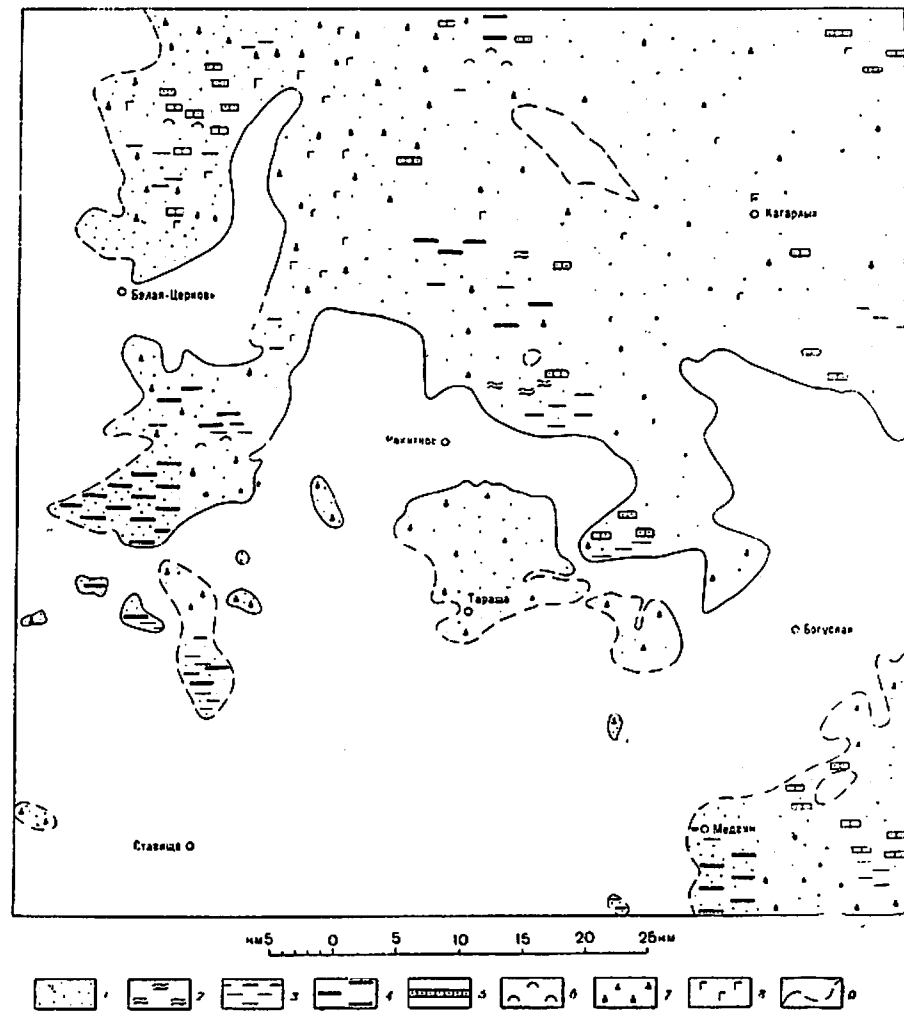


Рис. 3. Карта распространения отложений бучакских слоев. (Составил О. Н. Цымбал)

1 — пески темно-серые, серые, светло-серые и зеленовато-серые, кварцевые, часто глинистые; 2 — алевриты темно-серые и серые, углистые; 3 — глины темно-серые, серые, реже светло-серые, часто песчанистые, местами каолинитовые; 4 — угли бурые, часто песчанистые; 5 — песчаники светло-серые до темно-бурых, плотные, кварцевые; 6 — каолины вторичные; 7 — углистость отложений; 8 — глауконит; 9 — эрозионные границы распространения отложений бучакской свиты, установленные и предполагаемые

В целом прибрежные и континентальные отложения бучакских слоев характеризуются значительной пестротой литологического состава, невыдержанностью отдельных прослоев по мощности и простиранию, часто значительной углистостью и глинистостью отложений, более крупным гранулометрическим составом и более слабой окатанностью кластического материала. Наличие в вертикальном разрезе описываемой толщи на значительной части левобережья р. Роси морских (пески с глауконитом), прибрежных (часть глины и алевритов) и континентальных (бурые угли и вторичные каолиниты) отложений свидетельствует о значительной подвижности береговой линии, которая имела довольно извилистые очертания.

Для тяжелой фракции пород буекасских слоев характерно большое количество пирита, циркона, граната, турмалина и гидрогипетита; несколько большее, чем в нижележащих отложениях каневских слоев, содержание дистена, силимманита и особенно андалузита, большое количество амфиболов, сравнительно большое количество гидрогипетита и гетита.

КИЕВСКИЕ СЛОИ (Pg₂ k)

Морские отложения киевских слоев развиты на большей части территории листа. Эрозионные границы распространения их очень извилисты и обусловлены интенсивным размывом в олигоцене и неогене, а также более поздним размывом в четвертичное время. Обнажаются породы киевских слоев в долине р. Роси между селами Дыбины — Калиновка, в долинах р. Леглыч и ее притоков. На остальной территории они вскрыты скважинами на глубинах от нескольких метров до 50—70 м. Залегают с небольшим уклоном на северо-восток, в общих чертах повторяя рельеф как подстилающих пород, так и рельеф кристаллического фундамента. Абсолютные отметки кровли слоев колеблются от 105—130 до 185 м. Максимальная мощность составляет 38 м.

В основании слоев залегают песчано-глинистые отложения бучака, а в местах их отсутствия — кристаллические породы докембрия. Пересякаются они в большинстве случаев отложениями харьковских слоев. Верхняя и нижняя границы киевских слоев обычно отчетливы, в большинстве случаев эрозионные.

литологически отложения киевских слоев представлены толще мергелий, алевритов, глин, песков и значительно реже песчаников. В северо-восточной части листа, там, где отложения киевских слоев ущелели от размыва, они четко разделяются на три горизонта: нижний — песчаный, средний — мергелистый и верхний — глинисто-алевритовый.

Нижний горизонт сложен зеленовато-серыми, мелко- и среднезернистыми, кварцевыми и глауконито-кварцевыми, известковистыми песками с большим количеством мелких стяжений фосфорита, размером до 1—3 см. Из фораминифер Л. А. Дигас здесь определены: *Marginulina fragaria* G üttb., *Boliminiifera* L. A. Дигас, *Bulimina aksuatica* Морг., *Siphonia praereticulata* Краева, *Asterigerina lucida* Минак. и др. Мощность горизонта 0,2—3,0 м. Средний горизонт представлен однообразной толщей мергелей и известковистых глин светло-серых со слабым голубовато-зеленовым оттенком, плотных, слюдистых, у подошвы сильно песчанистых. Е. И. Николаевской в мергелях определены: *Chlamys* (*Aequipecten*) *idoneus* Wood, *Ch.* cf. *solea* Desh., *Chlamys* sp. ind., *Spondylus* cf. *tenuispina* Sand. Максимальная мощность мергелей и известковистых глин — 20—25 м.

ная мощность мергелий и известняков в пределах макаронского бассейна

К юго-западу, в более мелководной части позднеэоценового бассейна, мощность мергелий значительно уменьшается и они сперва частично, а затем и полностью замещаются алевритами, реже алевритовыми глинами, которые ничем не отличаются от алевритов и алевритовых глин верхнего горизонта

киевских слоев в области распространения мергелей. Нижняя часть слоев здесь сложена разнозернистыми бескарбонатными глинистыми песками мощностью 2–6 м. Еще далее к юго-западу толща алевритов и алевритовых глин сперва частично, а затем и полностью замещается песками. Пески зеленовато-серые и серовато-зеленые, разнозернистые, кварцевые, в различной степени глинистые, с зернами глауконита, чешуйками слюды и небольшим количеством зерен полевого шпата. По периферии площади распространения пески становятся зеленовато-желтыми, крупно- и среднезернистыми, кварцевыми, реже полевошпатово-кварцевыми. В основании, реже в средней части песков, здесь местами встречаются прослои кремнистых песчаников. Песчаники мелкозернистые, содержат большое количество отпечатков кораллов и мшанок. Мощность толщи достигает 10 м и более.

Для тяжелой фракции пород киевских слоев характерно незначительное содержание дистена, силимманита, айдалузита, апатита, роговой обманки, граната и эпидота, большое процентное содержание группы слюд, циркона и пирита, частое присутствие коллофана.

Олигоцен

ХАРЬКОВСКИЕ СЛОИ (Pg₂, hr)

Отложения харьковских слоев пользуются широким распространением и отсутствуют только на наиболее возвышенных участках кристаллического фундамента и в местах интенсивного размыва в четвертичное время. Обнаружения их наблюдаются в долинах рек Роси, Красной, Хоробры, Леглыча. На остальной территории они вскрыты большим количеством скважин на глубинах до 40—50 м. На большей части территории залегают на отложениях киевских слоев, а в местах их отсутствия — на отложениях бучакских слоев. В юго-западной части листа отложения харьковских слоев местами залегают непосредственно на кристаллических породах и коре их выветривания. Переходят они отложениями полтавских слоев, а в местах их размыва — породами четвертичной серни. Контакт с нижележащими отложениями киевских слоев в большинстве случаев отчетливый, эрозионный. Такой же отчетливый эрозионный контакт в ряде случаев наблюдается между отложениями харьковских слоев и покрывающими их отложениями полтавских слоев. Залегают отложения харьковских слоев с небольшим уклоном на северо-восток. Абсолютные отметки кровли их колеблются от +175 до +125 м. Максимальная мощность слоев 15,0 м.

Фаунистические остатки в толще пород харьковских слоев встречаются редко. Обычно это скелеты мшанок, кораллы и ядра моллюсков (переотложенные).

В спорово-пыльцевом спектре, по данным З. В. Гришки, определены: *Cunninghamia*, *Glipostrobus*, *Rhus*, *Atrus*, *Salix*, *Betula*, *Taxodiaceae* и др. Реже встречается пыльца зонтичной сосны, пихты, секвойи и золотистого кипариса. Подчиненное значение имеет растительность тропического и субтропического климата (до 25%). Преобладает сумаха.

Представлены отложения харьковских слоев толщей алевритов, песков и глин, образование которых происходило в морских мелководных условиях. В северной части листа, на территории, более удаленной от источников сноса, в разрезе преобладают алевриты и глины. На юге значительным распространением пользуются пески, что связано как с более мелководным характером отложений, так и близостью источников сноса. Алевриты и алевритовые глины обычно слагают нижнюю часть разреза; пески — либо весь разрез, либо приурочены к верхней его части. Алевриты и глины окрашены в зеленые и серые тона различных оттенков. Породы слюдистые, в различной степени песчанистые, часто с маломощными прослойками песка, местами с обуглившимися растительными остатками, стяжениями пирита и незначительным количеством зерен глауконита. Глины и алевриты, залегающие в основании толщи, часто сильно углистые, темноокрашенные. Пески более светлые, мелко- и тонкозернистые, кварцевые, в различной степени глинистые

и слюдистые. Для песков характерна нечетко выраженная тонкая, горизонтальная, косая, диагональная или волнистая слоистость. Почти всегда они окрашены гидроокислами железа в охристые и желтые тона. Особенно интенсивно окрашенной бывает нижняя часть толщи. На юге территории, на небольшой площади к западу от с. Вел. Вовнянки и к югу от с. Дубовки нижняя часть разреза, реже весь разрез слоев, представлен толщей зеленовато-серых, мелкозернистых, кварцевых песчаников с кремнистым цементом.

От тяжелой фракции нижележащих пород киевских слоев тяжелая фракция пород харьковских слоев отличается значительным содержанием дистена, силиманиита, циркона, рутила. Глинистое вещество пород харьковских слоев представлено монтмориллонитом.

НЕОГЕНОВАЯ СИСТЕМА

Миоцен

ПОЛТАВСКИЕ СЛОИ (N, pl)

Отложения полтавских слоев пользуются почти повсеместным распространением, отсутствуя только в местах четвертичного размыта. Многочисленные обнажения пород полтавских слоев наблюдаются по долинам рек Росс, Красная, Леглыч, Хоробра и др., а также по склонам балок и в оврагах, прорезающих склоны долин. На водораздельных пространствах они вскрыты большим количеством скважин на глубинах от 10–15 до 56,0 м. Залегают отложения полтавских слоев на размытой поверхности пород харьковских слоев, а в местах их отсутствия — на отложениях киевских и бучакских слоев или непосредственно на кристаллических породах.

Перекрываются описываемые отложения в большинстве случаев пестрыми глинами, значительно реже — породами четвертичной системы, а в ряде пунктов бурыми и красно-бурыми глинами. Контакт между отложениями полтавских слоев и вышележащими отложениями сармата в большинстве случаев постепенный, местами резкий, эрозионный. Абсолютные отметки кровли слоев колеблются в пределах 173,3—159,3 м. Мощность толщи изменяется от 0 до 46 м. Максимальные мощности установлены в районе сел Рижки и Потоки (рис. 4).

Представлены отложения полтавских слоев толщей песков и глин. Подчиненное значение имеют песчаники, углистые породы и известняки. Глины распространены в юго-восточной части листа. Песчаная толща полтавских слоев довольно четко разделяется на три литологических горизонта. Нижний горизонт, сложенный песками темноокрашенными, мелкозернистыми, кварцевыми, часто сильно углистыми, в ряде мест с прослойями песчанистых бурых углей мощностью 0,30—0,50 м, пользуется ограниченным распространением и наиболее часто наблюдается в южной части листа. Мощность песков нижнего горизонта колеблется от 0,50 до 12 м.

Наиболее широким распространением пользуется средний горизонт, представленный белыми и светло-серыми, тонко- и мелко-зернистыми кварцевыми, песками с прослойями, обогащенными рудными минералами (циркон, рутил, ильменит).

В песках наблюдается четко выраженная горизонтальная, косая и диагональная слоистость. Концентрация рудных минералов в песках среднего горизонта на значительной площади междуречья Росс — Гнилой Тикич достигает промышленных значений. Мощность песков этого горизонта 2—40 м.

Верхний горизонт полтавских слоев пользуется несколько меньшим распространением и представлен песками с линзовидными прослойями песчаника. Пески светло-серые, часто окрашены гидроокислами железа и окислами марганца в охристые и малиновые тона, разнозернистые, кварцевые. Песчаники обычно представлены рыхлыми разностями, однако в ряде мест они плотные, образуют линзообразные прослои или залегают крупными глыбами. Мощность песчаников колеблется от 5—10 см до 10,4 м.

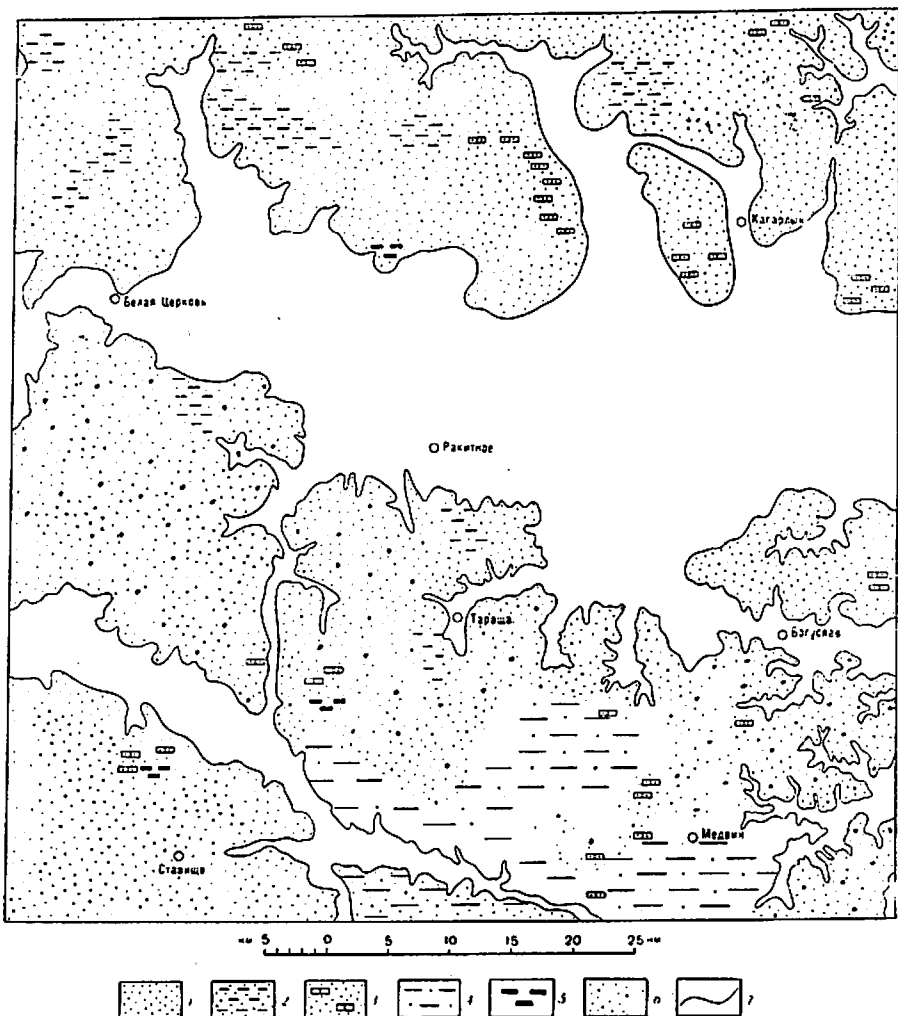


Рис. 4. Карта распространения отложений полтавских слоев. (Составила В. А. Колосовская)

1 — пески нижнего, среднего и верхнего горизонтов; 2 — пески среднего и верхнего горизонтов, глины нижнего горизонта; 3 — пески нижнего и среднего горизонтов, пески и песчаники верхнего горизонта; 4 — глины адсорбционные; 5 — прослой бурых углей в нижнем горизонте; 6 — пески, содержащие повышенные и промышленные концентрации ильменита, рутила, циркона; 7 — эрозионные границы распространения отложений полтавских слоев

В юго-восточной части листа фациальный состав миоцена резко отличается от состава одновозрастных образований, описанных выше. Низы полтавских слоев здесь сложены кварцевыми тонко- и мелкозернистыми песками, а верхняя часть — плотными восковидными глинами оливково-зеленого и черного цвета, содержащими прослой известняка мощностью 0,3—3,5 м.

В нижних горизонтах восковидных глин встречаются многочисленные обломки стеблей харовых водорослей, что свидетельствует об образовании этих осадков в сильно опресненных озерах прибрежной низменности. По внешнему облику, механическим свойствам и минеральному составу вся толща глин разделяется на три части. Нижняя часть представлена темно-зелеными, очень плотными песчанистыми глинами, глинистая фракция которых состоит из монтмориллонита и гидрослюд с незначительной примесью пальмогорскита. Мощность их 0,5—4,0 м.

Средняя часть представлена черными, коричневыми и светло-коричневыми, плотными, восковидными глинами монтмориллонито-пальмогорского состава. Мощность их до 4 м.

Верхняя часть представлена зеленовато-серыми, желтовато-зелеными и светло-серыми очень вязкими плотными глинами монтмориллонитового состава, содержащими прослой и стяжения криптокристаллического известняка. Мощность этой части 10—12 м. Общая мощность глинистой толщи 0,5—25,0 м.

В тяжелой фракции песчаных отложений полтавских слоев преобладают циркон, ильменит, рутил, лейкоксен, дистен, силлиманит и турмалин, в меньших количествах присутствуют ставролит, андалузит, эпидот, монацит, глаукофит, пирит и гидрогематит. Тяжелая фракция глин составляет незначительную часть навески и состоит из небольшого количества циркона, граната, рутила, турмалина, дистена, ставролита, силлиманита и ильменита.

СРЕДНЕ- И ВЕРХНЕСАРМАТСКИЙ ПОДЪЯРУСЫ ($N_1 S_{2+3}$)

Отложения этого возраста известны в литературе под названием горизонта пестрых глин. На территории листа М-36-XIX они пользуются довольно широким распространением, принимая участие в геологическом строении плато и склонов. Гораздо реже они встречаются в верхних частях склонов долин рек.

Многочисленные выходы горизонта пестрых глин наблюдаются вдоль долин рек Роси, Красной, Леглыча, Хороброй, Гнилого Тикича, Боярки и др. На водораздельных пространствах они вскрыты скважинами на глубинах 10—30 м. Абсолютные отметки кровли горизонта пестрых глин колеблются от 215—210 до 150—140 м. Мощность его 0—40,0 м. Подстилаются пестрые глины отложениями полтавских слоев. В юго-западной части листа отмечено залегание их на кристаллических породах докембрия. Переходят они в бурыми и красно-бурыми глинами плиоценового и нижнечетвертичного возрастов, а в местах их отсутствия — породами среднего и верхнего отделов отложений полтавских слоев. Контакт горизонта пестрых глин с нижележащими четвертичными системами. Контакт горизонта пестрых глин с нижележащими четвертичными отложениями полтавских слоев в наиболее полных разрезах всегда постепенен, и только в местах, где верхние горизонты полтавских слоев отсутствуют, он резкий, эрозионный. Верхняя граница горизонта там, где он покрывается бурыми и красно-бурыми глинами, также в большинстве случаев не имеет четвертичных отложений и не охарактеризованы. Представлены они главным образом толщей глин. Подчиненное значение имеют пески и известняки.

Глины серые, бурые, красные, серовато-зеленые, пятнистые, окрашены гидроокислами железа и окислами марганца в охристые, ржаво-желтые, вишнево-красные и малиновые тона, плотные, вязкие, прослоями песчанистые, мелко-красные и малиновые, с зеркалами скольжения, часто с большим количеством известнястыми углистыми, с зеркалами скольжения, часто с большим количеством известнястыми стяжениями, размером 0,5—10 см, с бобовинами, оолитами и пристекловидными соединениями. У подошвы они обычно песчанистые, часто окремелые.

Известняки в толще глин встречаются обычно в виде одного, значительно реже двух или трех прослоев, мощностью от 10—20 до 50 см. В отдельных случаях мощность их возрастает до 1—3 м. Приурочены известняки в основ-

ном к глинам, распространенным в юго-западной и южной частях листа. Известняки серовато-белые, розовато-серые, мелкозернистые и скрытокристаллические, плотные, трещиноватые с пустотами выщелачивания.

Пески, приуроченные к горизонту пестрых глин, залегают обычно в виде прослоев и линз и значительно реже слагают весь разрез толщи (с. Рижки). В последнем случае они характеризуются более светлой, но также пестрой окраской. Они разнозернистые, кварцевые, глинистые и сильно глинистые, часто с гнездами пестрых глин и железисто-марганцевыми бобовинами. Мощность прослоев от нескольких сантиметров до 4 м. В местах, где пески полностью слагают разрез толщи, мощность их увеличивается до 13 м и более.

Генетически отложения горизонта пестрых глин можно рассматривать как осадки лагун регрессировавших неогеновых морей. Согласно утвержденной легенде для серии листов Центрально-Украинской горизонт пестрых глин обозначен индексом $N_1 S_{2-3}$, между тем, учитывая постепенный переход горизонта пестрых глин в нижне- и вышеупомянутые отложения и считая, что формирование отложений полтавских слоев на исследованной территории происходило, по-видимому, на протяжении почти всей миоценовой эпохи, а возраст красно-бурых и бурых глин определялся как плиоцен — нижнечетвертичный, правильно было бы присвоить этим глинам индекс, обозначающий верхний миоцен — плиоцен.

Для отложений горизонта пестрых глин характерен малый выход тяжелой фракции и мелкий размер аксессориев, значительное содержание циркона, рутила, силлиманита, андалузита, турмалина и особенно гидрогематита, обязательное присутствие гидрослюд, наличие незначительного количества барита, отсутствие каолинита, повсеместное присутствие минералов из группы карбонатов, ожелезнение минералов. Легкая фракция сильно загрязнена углистыми частичками.

НЕОГЕНОВАЯ — ЧЕТВЕРТИЧНАЯ СИСТЕМА

Бурые и красно-бурые глины ($N_2 + Q_1$)

Распространены на наиболее возвышенных, слабо эродированных участках плато и его склонах. Значительно реже встречаются в верхних частях склонов долин, по балкам и оврагам. Залегают глины в большинстве случаев на отложениях горизонта пестрых глин и связаны с ними постепенными переходами. Значительно реже они подстилаются песчано-глинистыми отложениями полтавских слоев. Кровлей красно-бурым и бурым глинам служат отложения среднего, реже верхнего отделов четвертичной системы. Абсолютные отметки кровли глин колеблются от 230—215 до 150—145 м, в общем уменьшаясь в северо-восточном направлении. Мощность их достигает 25 м.

Глины бурые, реже красно-бурые, плотные, вязкие, однородные, местами сильно песчанистые, с черными железисто-марганцевыми бобовинами размером 0,2—0,3 мм и большим количеством известковистых стяжений размером до 5—7 см. Фаунистически глины не охарактеризованы. Генетически большая часть глин, развитых на плато, несомненно является продуктом выветривания пестрых глин. Некоторая часть глин, развитых на плато, и глины, залегающие на склонах, являются переотложенными, делювиальными. Возраст глин определяется нами (и большинством предыдущих исследователей) как плиоцен — ранне-четвертичный.

Тяжелая фракция бурых и красно-бурых глин мало чем отличается от тяжелой фракции горизонта пестрых глин, что является одним из доказательств элювиального генезиса части красно-бурых глин.

ЧЕТВЕРТИЧНАЯ СИСТЕМА

Отложения четвертичной системы покрывают сплошным покровом все более древние образования и отсутствуют лишь в местах выходов дочетвертичных пород на дневную поверхность, которые приурочены к долинам рек, балкам и оврагам. Мощность четвертичных отложений колеблется от 1—2 до 50—60 м. Распространение отдельных генетических типов четвертичных отложений и мощности их находятся в тесной связи с геоморфологическим

строением территории листа. В возрастном отношении среди толщи четвертичных отложений выделяются: средне-, верхнечетвертичные и современные отложения.

К среднечетвертичным отложениям отнесены: подморенные озерно-ледниковые, подморенные водноледниковые, ледниковые, надморенные водноледниковые и надморенные озерно-ледниковые отложения. Многочисленные выходы их на дневную поверхность наблюдаются в долинах рек, в балках и оврагах. На водораздельных пространствах они вскрыты большим количеством скважин.

Подморенные озерно-ледниковые отложения встречаются почти повсеместно. Представлены они суглинками, слагающими либо полный разрез подморенной толщи, либо его основание, реже среднюю и верхнюю части толщи. Суглинки серые, зеленоватые и желтые различных оттенков, тонкопесчанистые и тонкоисостистые, с большим количеством мелких чешуек слюды, с редкими карбонатными стяжениями и раковинами *Succinea oblonga* Dr., *Riparia tisconium* M. Мощность их 0,4—24 м, средняя — 6—8 м.

Подморенные водноледниковые отложения ($f_{gl}Q_{II}$) приурочены обычно к водно-ледниковым долинам начала среднечетвертичной эпохи. Представлены они песками светло-серыми, желто-бурыми, желтыми, разнозернистыми, кварцевыми, реже полевошпато-кварцевыми, обычно слабоглинистыми, слоистыми, местами с прослойками суглинка. Слонистость песков горизонтальная, реже диагональная, косая и волнистая. Мощность их достигает 44,4 м.

Ледниковые отложения, пользующиеся широким распространением, являются хорошим маркирующим горизонтом в толще четвертичных отложений. Сложенны они желто-, красно- и серовато-бурыми суглинками. Суглинки сильно песчанистые, плотные, с большим количеством валунов кристаллических пород размером от 5—6 до 20—25 см и, изредка, до 1 м. Мощность гляциальных отложений колеблется от 1—2 до 5,4 м.

Надморенные водноледниковые отложения наиболее широко развиты в пределах водноледниковых долин конца среднечетвертичной эпохи. Литологический состав их совершенно сходен с подморенными отложениями. Мощность толщи 0,5—33,5 м, в среднем составляя 7—8 м.

Надморенные озерно-ледниковые отложения встречаются почти повсеместно. Представлены суглинками, которые по своим литологическим признакам почти не отличаются от описанных выше подморенных озерно-ледниковых суглинков. Мощность их 1,2—14,2 м.

К верхнечетвертичным отложениям отнесены лёссы и лёссовидные суглинки, а также аллювиальные отложения речных террас. Лёссы и лёссовидные суглинки ($eol - dQ_{II}$) слагают верхнюю часть разреза четвертичной толщи, отделяясь от среднечетвертичных отложений горизонтом ископаемой почвы. Породы палево-желтого цвета, пористые, известковистые со столбчатой отдельностью. Часто они разделяются горизонтом ископаемой почвы на две части.

Аллювиальные отложения (alQ_{III}^2, alQ_{III}^1) слагают разрез первой и второй надпойменных террас. Представлены песками мощностью до 22 м.

К современным отложениям отнесены: аллювиальные отложения речных русел, пойм и днищ балок ($aliQ_{IV}$) — пески, суглинки и илы мощностью 0,8—11,0 м; болотные отложения (hQ_{IV}) — торф мощностью до 5 м; лимнические отложения (lQ_{IV}), развитые в замкнутых владинах и представленные серыми суглинками мощностью до 1—1,5 м; золовые отложения ($eol Q_{IV}$) — пески, распространенные в районе городов Тараща, Мироновки и с. Чернина мощностью 0,5—2 м; элювиальные отложения (современная почва), образованные гумусированными суглинками мощностью до 2 м.

ТЕКТОНИКА

В геоструктурном отношении площадь листа относится к центральной части Украинского кристаллического массива и району сочленения его с Днепровско-Донецкой впадиной, что и определяет в основном особенности тектонического строения.

Современные взгляды на тектоническое строение Украинского кристаллического массива, частью которого является и исследованная территория, изложены в работах Н. П. Семененко, В. Г. Бондарчука, Ю. И. Полонинкиной, А. Н. Козловской, И. С. Усенко, Я. П. Белевцева и др. Однако сложность геологического строения, слабая обнаженность и сравнительно редкая сеть буровых скважин, вскрывающих только незначительную верхнюю часть докембрийских образований, в значительной мере усложняет решение этого вопроса, вследствие чего в настоящее время существует ряд различных взглядов на тектоническое строение и историю формирования кристаллического массива.

Согласно наиболее новым представлениям, изложенным в работе «Тектоніка території Української РСР та Молдавської РСР» (1959), исследованная территория расположена в пределах Белоцерковского тектонического блока, который является одним из наиболее опущенных участков кристаллического массива, сложенных архейскими породами.

На основании анализа проведенных нами наблюдений и многочисленных данных геофизических исследований можно считать, что господствующим простираемием докембрийских образований является северо-западное и только на отдельных участках, в южной части листа, простирание меняется на меридиональное и северо-восточное.

Г. К. Кужелов (1960) на основании анализа комплекса геофизических исследований построил структурную карту листа М-36-XIX, где на фоне крупного Белоцерковского антиклинария, занимающего основную часть территории листа, выделены антиклиналь северо-западного направления и две синклинальные складки, расположенные к северо-востоку и юго-западу от антиклинали.

Общая геологическая обстановка и замеры элементов залегания в породах, слагающих антиклиналь, подтверждают построения Г. К. Кужелова.

В строении антиклинали, именуемой нами Белоцерковско-Антоновской, принимают участие граниты и мигматиты киевоградско-житомирского комплекса и залегающие среди них на крыльях складки породы гнейсовой серии и амфиболиты. Ось антиклинали проходит с северо-запада на юго-восток по линии г. Белая Церковь, села Чернина, Потеевка, Дубовка и продолжается далее к югу на территории листа М-36-XXV (Умань).

В строении Пилипче-Ставицанской и Блоценецко-Порадовской синклиналей принимают участие породы гнейсовой серии и амфиболиты. Следует оговориться, что крайне слабая обнаженность лишает возможности проследить с достаточной детальностью элементы залегания выделенных структур, вследствие чего осевые линии их проведены весьма условно, главным образом на основании геофизических данных и общей геологической обстановки.

На основании изучения трещинной тектоники, явлений катаклаза и милонитизации, а также распространения радионовых вод, связанных, несомненно, с зонами тектонических нарушений, на территории листа выделены следующие зоны тектонических нарушений:

1. Белоцерковская зона субширотного направления, являющаяся продолжением Сквицко-Белоцерковской зоны, выделенной Э. Я. Жовинским на территории листа М-35-XXIV (Сквира).

Ширина зоны колеблется от 3 до 5 км и прослежена от с. Фурсы до восточной окраины г. Белая Церковь. В пределах зоны рядом скважин вскрыты сильно катаклизированные и милонитизированные граниты и мигматиты. В г. Белая Церковь и селах Фурсы, Чмыревка в многочисленных источниках, колодцах и скважинах, пытающихся водами из трещинной зоны кристаллических пород, зафиксировано содержание радона в воде от 26 до 207 эман (рис. 5).

2. Богуславско-Мироновская зона, расположенная у восточной рамки листа и представляющая собой широкую (2—5 км) полосу северо-восточного направления; сложена сильно катаклизированными и милонитизированными гранитами и мигматитами. По простираемию зона прослежена на протяжении 25 км от с. Кидановка до ж.-д. ст. Мироновка, где она выходит за пределы листа.

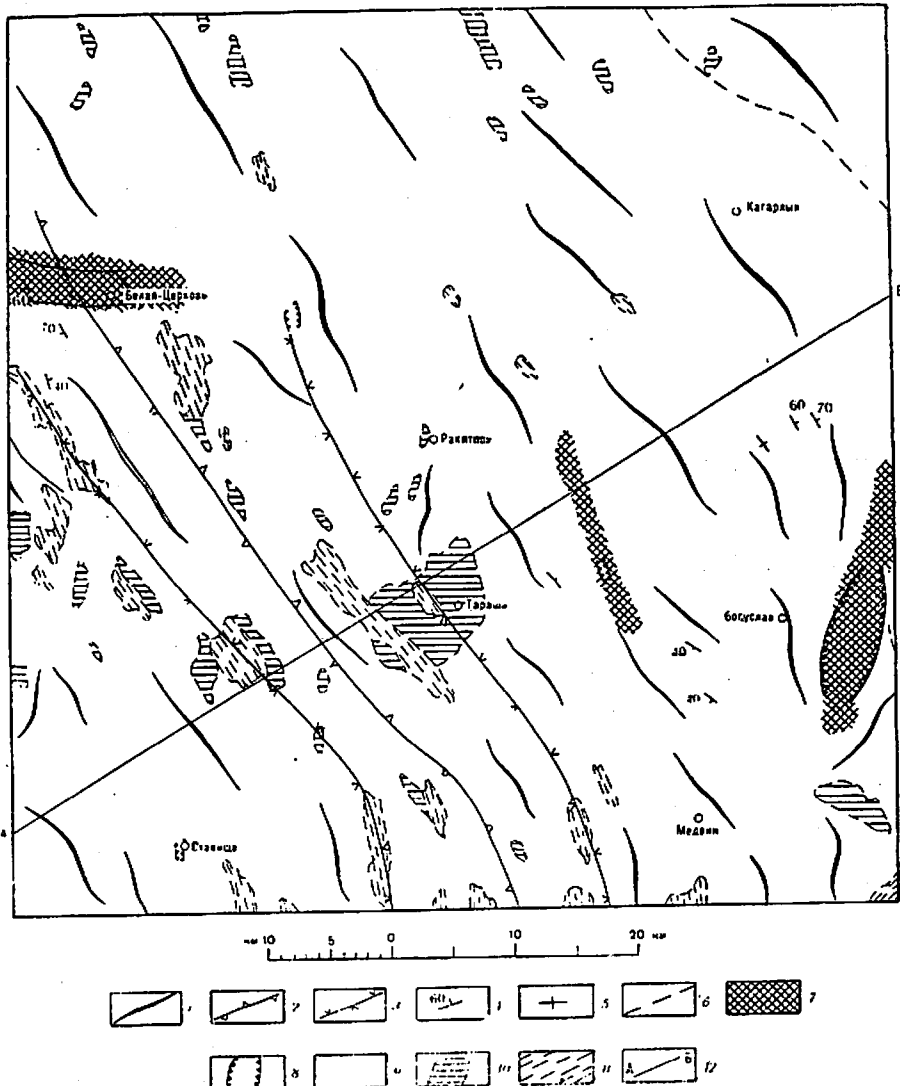


Рис. 5. Тектоническая схема. (Составил В. И. Шунько)

1 — область развития линейных складчатых структур кристаллического основания; 2 — ось антиклинали; 3 — оси синклиналей; 4 — наклонное залегание; 5 — вертикальное залегание; 6 — линия тектонического нарушения предполагаемая (юго-западная граница Днепровско-Донецкой впадины); 7 — зоны тектонических нарушений; 8 — зоны милонитизации и катаклаза; 9 — кировоградско-житомирский комплекс; 10 — амфиболиты, габбро-амфиболиты, пироксениты; 11 — серия архейских гнейсов; 12 — линия, соответствующая разрезу на карте домозойских образований

В ряде пунктов в контуре тектонической зоны зафиксировано наличие вод с высоким содержанием радона. Так, в водах из скважин на ст. Мироновка содержание радона достигает 440 эман, в г. Богуславе — 112 эман, в с. Владиславовка — 126 эман.

3. Саварско-Ольшаницкая зона субмеридионального направления. Основанием к выделению этой зоны послужили следующие данные: катаклаз и милонитизация порфировидных гранитов (с. Саварка); очень высокие притоки вод (до 20 м³/час) из трещинной зоны кристаллических пород; резкое изменение направления р. Рости с широтного на меридиональное, что, по-видимому, вызвано последующим блоковым смещением кристаллических пород в тектонической зоне, преградивших путь реке.

Катаклазированные и милонитизированные породы также вскрыты скважинами в селах Блощенцы и Ставище, что свидетельствует о происходивших блоковых подвижках и в других пунктах исследованной территории.

В северо-восточной части листа условно выделяется разлом, контролирующий распространение верхнепермских, келловейских и альбских отложений.

В данном разломе приподнятым является северо-восточное крыло. Здесь наблюдается интенсивное обновление эрозионной деятельности. На продолжении линии разлома в пределах листа М-36-XIII фиксируются зоны милонитизации и катаклаза, а также наличие родоновых вод в районе с. Конча Заспа.

В нижнеархейское время территория Украинского кристаллического массива, в центральной части которого относится большая часть площади листа М-36-XIII, представляла собой геосинклинальную область, в пределах которой в течение первого этапа развития происходило накопление песчано-глинистых и глинистых карбонатных осадков, превращенных затем, вследствие процессов метаморфизма, в разнообразные гнейсы. Осадконакопление в геосинклинальной области сопровождалось межплластовыми интрузиями и эфузиями основных и ультраосновных пород, измененных в процессе метаморфизма, что привело к образованию амфиболитов, габбро-амфиболитов и пироксенитов, развитых в западной части листа.

В орогенном период проходит складчатость северо-западного направления. Синхронной с этой складчатостью является интрузия гранитоидов кировоградско-житомирского комплекса, носившая многофазный характер. В первую фазу произошла интрузия плагиогранитов. В верхних горизонтах этих пород образовались поля мигматитов. Во вторую фазу магматического цикла произошла интрузия житомирских гранитов. Наиболее мощная интрузия порфировидных гранитов привела к образованию массива этих пород, занимающих около 50% площади листа. В результате воздействия гранитной магмы на крупные тела амфиболитов, при неполной ассилияции последних, образовалась группа гибридных пород — гранодиоритов и диоритов. В заключительную фазу магматического цикла кировоградско-житомирского комплекса произошло вледение высокоподвижной магмы аplitо-пегматоидных гранитов, что привело к образованию полей тонкополосчатых мигматитов. По-видимому, с верхним протерозоем — палеозоем связаны разломные явления и блоковые подвижки, что выразилось в образовании довольно мощных зон тектонических нарушений, описанных выше.

Осадочный покров залегает моноклинально с небольшим уклоном на северо-восток в сторону Днепровско-Донецкой впадины.

Физико-географические условия, существовавшие на территории листа от рифея до позднепермского времени, остаются неясными, так как соответствующие отложения на площади листа неизвестны.

В начале поздней перми произошло опускание территории, расположенной к северо-востоку от разлома, условно проведенного нами по линии сел Леоповки, Новоселки, Кадомки, Зоревки.

В казанском веке северо-восточное разлома существовала лагуна. Территория, расположенная к юго-востоку, по-прежнему представляет собой воззвышенный участок суши. В татарском веке территория листа представляла

сушу. Накопление осадков происходило только на участке северо-восточнее разлома (кореневская свита?).

Континентальный режим продолжал существовать вплоть до средней юры. В раннебатское время северо-восточнее упомянутого разлома существовала лагуна, расширение которой происходит в позднебатское время. Воды этой лагуны покрывают значительную часть территории левобережья р. Роси. На прилегающей с юго-запада суще происходило формирование континентальных отложений.

На границе бата и келловея происходит новое значительное опускание северо-восточной части территории. Береговая линия келловейского моря полностью совпадает с линией разлома. К концу келловея на территории листа устанавливается континентальный режим, который существует вплоть до альба.

Альбская трансгрессия захватывает только небольшой северо-восточный угол листа. В сеномане происходит дальнейшее расширение морского бассейна, водами которого заливается большая часть территории листа. Морской режим существовал, по-видимому, до маастрихта.

К началу палеогена произошел резкий подъем по разлому северо-восточной части территории листа. В каневском веке на большей части левобережья р. Роси существовал морской мелководный бассейн, расширение которого происходило в бучакском веке. Прилегающая к бассейну суши в это время представляла низменную, заболоченную равину, где происходит аккумуляция песчано-глинистых, углистых отложений.

Киевский век характеризуется максимумом трансгрессии. Водами киевского моря покрывается почти вся территория листа. Некоторое сокращение и обмеление моря наблюдается в харьковском веке.

Неогеновое время характеризуется общим обмелением и сокращением моря, образованием целого ряда лагун и озер.

На протяжении большей части плиоценового и раннечетвертичного времени идет интенсивное выветривание пестрых глин и частичное переотложение их.

В среднечетвертичное время вся территория листа покрывается днепровским ледником, с деятельностью которого связано образование довольно мощной серии водно-ледниковых отложений. После отступления ледника закладывается современная гидрографическая сеть, частично унаследовавшая раннечетвертичные и водно-ледниковые долины.

ГЕОМОРФОЛОГИЯ

В геоморфологическом отношении на территории листа М-36-XIX выделяются два типа рельефа, характеризующиеся резко отличными особенностями: абсолютными отметками поверхности, степенью расчлененности овражно-балочной сетью, характером речных долин и обнаженностью.

К первому типу относится денудационно-аккумулятивная, слабо всхолмленная, лёссовая возвышенная равнина (плато и его склоны), охватывающая правобережье р. Роси и входящая в состав обширного геоморфологического района, выделяемого В. Г. Бондарчуком (1949) под названием Приднепровской возвышенности. На территории листа она представляет собой наиболее возвышенный геоморфологический уровень и сохранилась в виде отдельных участков неправильной формы, расположенных между речными долинами, балками и оврагами. В поперечном профиле форма междуречий водообразная, коренные склоны речных долин и балок постепенно переходят в поверхность междуречных пространств. Возвышенная равнина имеет сложный рельеф, который характеризуется: значительными контрастами высот, разнообразными типами речных долин — от каньонообразных до оформленных; густой сетью балок, в верховьях которых часто наблюдается обновление эрозионной деятельности с образованием глубоких активных оврагов; большим количеством естественных выходов пород кайнозоя и докембра, привороченных к речным долинам, балкам и оврагам. Абсолютные отметки возвышен-

ной равнины колеблются от 200 до 260 м и лишь по речным долинам опускаются до 160—170 м.

Поверхность равнины понижается с юго-запада на северо-восток. В настоящее время она испытывает медленное поднятие. Мощность четвертичных отложений здесь колеблется от нескольких метров до 40 м, в среднем составляя 25–30 м.

Ко второму типу рельефа относится денудационно-аккумулятивная, слабоволнистая, лёссовая, пониженная равнина (плато и его склоны), расположенная на левобережье р. Роги и являющаяся составной частью геоморфологического района, названного В. Г. Бондарчуком (1949) Киевским плато. Сохранилась она в виде нескольких суженных и вытянутых участков, занимающих междуречные пространства. Последние представляют собой горизонтальную, почти идеальную равнину, плавно опускающуюся к поймам или надпойменным террасам речных долин. Ровная поверхность междуречий в незначительной мере нарушается речными долинами, балками, проходными долинами и замкнутыми владинами. Наиболее характерными чертами рельефа пониженной равнины являются: незначительные контрасты высот, слабо разvитые процессы денудации и незначительная обнаженность. Абсолютные отметки пониженной равнины — 130—200 м. В пределах исследованной территории выделяются следующие формы рельефа:

1. Погребенные водно-ледниковые долины начали средне-четвертичной эпохи. Установлены в основном на левобережье р. Роси. Формирование их связано с периодом наступления днепровского ледника. Морфологически не выражены и в современном рельефе представляют собой водораздельные участки. Границы распространения долин установлены по данным бурения. Протяженность их в пределах листа 20—76 км, ширина — 1—20 км. В большинстве случаев они унаследовали древние долины рек, существовавших на месте Роси, Протоки, Гороховатки, Глиного Тикича и др., значительно расширили и переуглубили их. В пределах долин в настоящее время полностью размыты неогеновые отложения, а на отдельных участках размыт дошел до кристаллических пород. Впоследствии большая часть долин была почти полностью выполнена мощной (до 40 м) толщей флювиогляциальных песков и озерно-ледниковых суглинков, перекрытых мореной и маломощной толщей надморенных отложений. Некоторые из долин унаследованы водно-ледниковыми долинами конца средне-четвертичной эпохи.

2. Водно-ледниковые долины конца среднечетвертичной эпохи, широко развитые в пределах листа. Они представляют собой узкие, вытянутые в различных направлениях понижения, к большинству из которых приурочены долины современных рек. Длина их колеблется от 5—6 до 40 км, ширина — от 300—400 м до 6 км, глубина от 15—20 до 30—40 м. Преобладающее количество долин имеет небольшие размеры. Наиболее широкие из них наблюдаются по рекам Тарган и Рось. В попечерном профиле водоно-ледниковые долины характеризуются пологими, задернованными склонами, постепенно переходящими в поверхность лёссовой равнины, в связи с чем границы их в большинстве случаев проводятся условно. В строении их принимают участие подморенные и надморенные флювиогляциальные и озерно-ледниковые отложения. лёссы и лёссовидные суглинки, изредка гляциальные отложения.

3. Проходные (мертвые) долины. Это участки водно-ледниковых долин, не подвергавшиеся послеледниковой эрозии и в настоящее время лишённые постоянных водотоков. Соединяют верховья рек, принадлежащих к разным системам. Склоны долин пологие, постепенно переходят в склоны плато. Днища их ровные, редко с блюдцеобразными замкнутыми понижениями.

4. Долины современных рек, широко развитые на исследованной территории. Наиболее разработанной и древней является долина р. Рось. В строении долин выделяются: склоны, II надпойменные террасы, I надпойменные террасы и поймы. Почти все современные речные долины на территории листа являются вложенными в водно-ледниковые долины.

Склоны речных долин большей частью асимметричны. В северной половине листа они пологие, в южной в большинстве случаев крутые, а иногда

ГОРЮЧИЕ ИСКОПАЕМЫЕ

отвесные. К югу от г. Белая Церковь и в районе г. Богуслава долина р. Росы имеет каньонообразный облик.

имеет канькообразный облик.

Вторые надпойменные террасы развиты по р. Роси от с. Чмыревки до с. Ольшаницы и в устьевой части р. Каменки. В рельефе террасы выражены не всегда отчетливо. Ширина их колеблется от нескольких метров до 4—5 км. Поверхность террас ровная с наклоном в сторону русла. Уступы террас пологие, местами почти не выражены. Средняя высота их 12—17 м. Границы тылового края выражены слабо. Речные отложения II террасы обычно закрыты лессами и лессовидными суглинками.

Первые надпойменные террасы широко развиты по рекам Рось, Гнилой Тикич, Красная, а также в устьевых частях рек, впадающих слева в р. Рось. В рельефе выражены хорошо. Уступ их крутой, местами обрывистый, высотой до 10 м. Тыловой край отчетливый. Ширина террас колеблется от нескольких метров до 1—1,5 км. Поверхность их ровная, слабо наклонена в сторону русла. Сложены первые надпойменные террасы аллювиальными песками, которые местами перевешиваются ветром. Мощность аллювия 3—6 м.

песками, которые местами нанесены ветром. Поймы рек имеют ширину от 10—15 м до 3 км (р. Рось между селами Шкаровка — Остров) и отсутствуют лишь в каньонообразных участках долин. Морфологически поймы местами выражены двумя уровнями (р. Рось). Высота пойм над урезом воды — до 5 м. Высота низкого уровня — до 2 м. Поверхность пойм обычно ровная, по краям слабо вогнутая. Сложены они толщей аллювиальных песков и суглинков.

Балки и овраги. В пределах листа балки являются распространённой формой рельефа. По строению их можно разделить на две группы: а) балки, располагающиеся в пределах возвышенной лёссовой равнины; б) балки, расположенные на территории пониженной лёссовой равнины.

б) балки, развитые на территории пониженной лесостепи. Балки первой группы характеризуются крутыми ($20-50^{\circ}$) и высокими (до 40 м) склонами, изрезанными промоинами и оврагами. Днища их ровные или слабовогнутые, шириной от 10—15 до 50 м. Балки второй группы развиты слабо. Обычно они более короткие, мелкие, почти не разветвленные. Склоны их пологие ($5-7^{\circ}$), задернованы или распаханы, изрезаны неглубокими циркообразными промоинами и редко небольшими оврагами. Ширина их днищ не превышает 20 м.

Овраги наиболее интенсивно развиты в пределах возвышенной лесостепи. Приурочены к крутым склонам речных долин, к склонам и верховьям балок. Глубина их до 30—35 м, крутизна бортов 80—85°. Днища узкие, сухие, шириной до 5—10 м.

Оползневые формы рельефа. Оползни приурочены к крутым склонам балок, оврагов и речных долин, в строении которых принимают участие пестрые глины. Наблюдаются замерзшие и действующие оползни. Форма их циркообразная, поверхность бугристая, разбита трещинами. Амплитуда смещения — 4—6 м. Оползневые террасы развиты по рекам Красной и Леглыч, где протягиваются узкими полосами между селами Затиша — Семяновка и против с. Халчин. Поверхность террас ровная, местами бугристая, наклонена в сторону реки. Ширина их 5—100 м.

Кроме вышеперечисленных форм рельефа, встречаются просадочные формы (степные блюдца, замкнутые бессточные впадины), золовые формы (буగристые пески) и антропогенные (пруды, карьеры, курганы).

ПОЛЕЗНЫЕ ИСКОПАЕМЫЕ

На исследованной территории известен ряд полезных ископаемых, связанных с осадочными и кристаллическими породами. Промышленное значение имеют строительные материалы — граниты, мигматиты, пески, а также глины как кирпично-черепичное сырье. Кроме того на территории листа развиты торф, мергели и известняки. Особый интерес представляют россыпи рудных минералов — циркона, ильменита, рутила, приуроченные к песчаной толще полтавской свиты, а также минеральные воды с высоким содержанием радиона, приуроченные к тектоническим зонам в районе городов Белой Церкви, Богуслава, ст. Мироновки.

Бурый уголь. На территории листа поисково-разведочными работами выявлено большое количество углопроявлений, наиболее крупные из которых находятся в районе сел Коржевка — Озерная и с. Медвин. Приурочены они к отложениям бучакских, реже каневских слоев.

Район сел Озерная — Коржевка. Площадь углероствления составляет около 51 км². Глубина залегания угля от 45,8 до 58,5 м. Мощность угольного пласта 0,3—4,0 м. Зольность угля до 45,5%.

2. Район с. Медвина. Площадь углеропоявления около 31 км². Глубина залегания угля 59—105 м. Мощность пласта 0,8—4,0 м. Зольность колеблется от 23,6 до 36,4%.

Ввиду незначительной площади распространения, малой мощности пластов угля при значительной глубине их залегания и большой зольности, углеродные проявления практического значения не имеют.

Торф. Наибольшие по площади торфяники расположены в поймах рек Протока, Рось, Гнилой Тикич. Площадь их колеблется от 28 до 1216 га. Мощность залежи в среднем составляет 1,5 м, изредка достигая 6 м. Торф тростниковый, осоково-тростниковый и осоковый. Зольность его высокая — более 25 %. Теплотворная способность составляет 3500—5500 кал. Ориентировочные запасы торфа на исследованной территории составляют 500—800 тыс. м³. Залегает он непосредственно под почвенным слоем мощностью 0,1—0,2 м.

Торф представляет собой хорошее топливо, пригоден для брикетирования и использования для местных топливных нужд. Большая часть торфяных месторождений в районе сел Александровки, Глушки, Любча — Ожеговка, Потсеква, Пустовиты, Севериновка и др. разрабатываются колхозами и местным населением.

МЕТАЛЛИЧЕСКИЕ ИСКОПАЕМЫЕ

ЧЕРНЫЕ МЕТАЛЛЫ

Титан. В результате шлихового опробования, проведенного геолого-съемочной партией № 6, выявлена большая перспективная площадь (ореол рассеяния) с точки зрения нахождения россыпных месторождений титана и циркона, расположенная на междуречном пространстве Роси и Гилого-Тикича, в пределах которой средний горизонт песков полтавских слоев содержит повышенные, а местами промышленные концентрации ильменита, рутила и циркона. Наиболее интересные рудопроявления установлены в районе сел Чернина, Василихи, Потоки. Мощность рудоносных песков 1—7 м. В районе с. Чернина выход коллективного концентрата составляет 33,0—108 кг/т, в том числе ильменита и лейкоксена 83,3—413 кг/т, циркона — 30,3 кг/т, рутила — 21,6 кг/т. В с. Василихе выход коллективного концентрата рудных минералов составляет 33,9—79,2 кг/т.

Составляет 30,3-75,7 кг/т.

С 1960 г. на выделенной геологосъемочной партией площади проводятся поисковые и разведочные работы, в результате которых выявлено крупное Тарасовское титано-циркониевое месторождение площадью около 10 км². Рудоносные пески здесь имеют среднюю мощность 17,3 м, мощность вскрыши 24,4 м. Содержание ильменита достигает 11,17 кг/т, рутила — 2,93 кг/т, циркона — 3,84 кг/т при опробованной мощности песков 28,8 м. В настоящее время на месторождении продолжаются поисково-разведочные работы. Границы ореола по титану совпадают с перспективной площадью на титан по листу N-36-XXIV. Ореол рассеяния считать как перспективную площадь на титан.

ЦВЕТНЫЕ МЕТАЛЛЫ

Никель. Никелепроявление зафиксировано в г. Белая Церковь, где скважиной на территории авторемонтного завода среди амфиболитов вскрыты

небольшие тела — ксенолиты сильно измененных ультраосновных пород: талько-хлоритовых и tremolito-тальковых пород, tremолититов и лиственитов. Глубина залегания их колеблется от 31,7 до 64,5 м. Содержание никеля в породах составляет 0,05—0,22%, Co — 0,012%, Cr₂O₃ 0,17—0,28%.

В западной и центральной части листа (районы с. Ожеговки и г. Тарасци) выделены перспективные площади для постановки поисковых работ на силикатные никелевые руды. Основанием для выделения этих площадей послужило наличие довольно крупных полос и массивов пород гнейсовой серии, амфиболитов и небольших тел ультраосновных пород, развитие мощной коры выветривания на этих породах, а также характер аномального магнитного поля, позволяющий предполагать наличие здесь тел ультраосновных пород.

РЕДКИЕ МЕТАЛЛЫ

Молибден. Рудопроявление молибдена отмечено по р. Россавке в районе с. Россавы. Молибденит в виде мелких рассеянных чешуек встречен в гибридных гранитах кировоградско-житомирского комплекса.

НЕМЕТАЛЛИЧЕСКИЕ ИСКОПАЕМЫЕ МИНЕРАЛЬНЫЕ УДОБРЕНИЯ

Фосфориты. Фосфоритсодержащие породы приурочены к отложениям сеноманского яруса, а также киевских и харьковских слоев. Мелкие стяжения фосфорита, размером от 0,3 до 1 см, встречены в сеноманских мергелях скважинами к юго-востоку и северо-западу от с. Розалеевки, на глубинах 80,5—88,0 м. Мощность мергелей 2,5—3,0 м. В отложениях киевских слоев стяжения фосфоритов приурочены к подмергельным пескам, пользующимся распространением в восточной части листа.

Мощность фосфоритоносного слоя 0,2—3,5 м, глубина залегания от 10—15 до 80 м. Размер стяжений 0,2—3 см.

В отложениях харьковских слоев фосфориты встречены в с. Дыбинцы и приурочены к прослою алеврита мощностью 1,5 м. Размер стяжений до 5 см. Представлены фосфоритовые стяжения песчаником конкреционного происхождения.

Ввиду незначительной площади распространения, большой глубины залегания, малой продуктивности толщи и часто сложных гидрогеологических условий, фосфоритоносные отложения малоперспективны.

КЕРАМИЧЕСКОЕ СЫРЬЕ

Пегматиты. Пегматитовые жилы наиболее широко развиты в западной части территории листа. Однако промышленного значения они не имеют из-за небольшой мощности и довольно высокого содержания темноцветных минералов. Мощность жил колеблется от 0,3 до 2,5 м. Наиболее крупные жилы встречены в обнажениях по р. Рось в селах Пилипча, Синява и Фурсы. Связаны они с гранитами и мигматитами кировоградско-житомирского комплекса. Пегматиты розовые, реже серые, крупнозернистые. Жилы пегматита ориентированы в разных направлениях.

Специальных исследований пегматитов на изученной территории не производилось и качественная характеристика их неизвестна.

СТРОИТЕЛЬНЫЕ, ОГНЕУПОРНЫЕ, АБРАЗИВНЫЕ И ДРУГИЕ МАТЕРИАЛЫ

Известенные породы. Основную группу каменных строительных материалов представляют кристаллические породы — граниты и мигматиты. Наиболее крупные выходы их приурочены к долинам рек Роси, Гнилого Тикича и Россавы. Большая часть выходов расположена по склонам долины р. Роси, в западной и восточной частях листа, где они образуют прерывистую цепь скальных выходов высотой 5—20 м.

Ряд месторождений разрабатывается большими механизированными карьерами; разведаны, имеют подсчитанные и утвержденные запасы и данные о качестве камня. Наиболее крупными из них являются: Белоцерковское, Глыбочское, Пугачевское, Островское, Синявское, Ольшаницкое, Бушевское (с. Ольшаница), Хохтиянское, Богуславское. На Белоцерковском месторождении Белоцерковским райдиректоратом механизированным способом разрабатываются мигматиты розово-серые, тонкополосчатые, используемые для дорожного строительства. Общая площадь месторождения составляет 6 га. Запасы по категории C₁ равны 420 тыс. м³. Граниты Глыбочского месторождения используются для покрытия дорог I, II и III класса. Запасы их по категории C₁ составляют 244 тыс. м³.

Технологические испытания гранитов Пугачевского месторождения показали истирание 1,4% (по Девалю), водопоглощение 0,19%, уд. вес 2,66 г/см³; запасы по категории C₁ — 2084 тыс. м³.

Розово-серые, тонкополосчатые биотитовые мигматиты Островского и Синявского месторождений пригодны для изготовления бута и щебня для дорожного строительства. Они отличаются прочностью и малым водопоглощением. Химический состав мигматитов Островского месторождения следующий (в вес. %): SiO₂ 74,47—78,14, Al₂O₃ 12,39—14,35, K₂O 4,43—6,01, Na₂O₃ 1,87—2,86, SO₃ — от следов до 0,08, п. п. 0,36—0,46, H₂O — до 0,1.

Запасы на Островском месторождении по категориям A₂+B+C₁ — 1830 тыс. м³, на Синявском месторождении 1167 тыс. м³.

В Ольшаницком и Бушевском карьерах механизированным способом разрабатываются граниты розово-серый, крупнозернистый, порфировидный, биотитовый, пригодный для дорожного строительства. Технологические испытания его показали, что гранит обладает времененным сопротивлением сжатию от 664 до 1376 кг/см², водопоглощением 0,02—5,6%, пористостью 1—2%.

На Бушевском (с. Ольшаница) месторождении граниты дают крупные блоки размером от 0,7 до 9 м³, пригодные для изготовления бордюрных плит длиной 1,2 м при ширине 0,2 м и высоте 0,3 м.

Разведанные запасы на Ольшаницком месторождении по категории A₂ составляют 755 тыс. м³. На Бушевском месторождении по категориям A₂+B+C₁ — 2167 тыс. м³.

Темно-серые и серые порфировидные граниты разрабатываются в с. Хохтия и г. Богуславе. Временное сопротивление сжатию их колеблется от 1184 до 1510 кг/см², водопоглощение 0,24—0,28%. Граниты пригодны для производства бута и щебня.

Разведанные запасы на Хохтиянском месторождении по категории C₂ составляют 400 тыс. м³, на Богуславском месторождении по категориям A₂+B+C₁ — 2401 тыс. м³.

Кроме перечисленных крупных месторождений, в ряде пунктов известно большое количество небольших карьеров по разработке каменных строительных материалов, которые используются для нужд местного строительства.

Развитие промышленной добычи строительного камня возможно преимущественно по р. Роси в западной и восточной части листа, где имеются крупные выходы гранитов и мигматитов.

Карбонатные породы

Известняки. Распространены в южной части исследуемой территории. Приурочены к отложениям сарматского яруса и породам полтавских слоев. Залегают в виде прослоев среди толщи глин. Мощность прослоев колеблется от 1—10 см до 3 м. Разведанных месторождений известняков на территории листа нет. Разработка их производится лишь в карьере с. Митавка, где они используются для обжига на извест. Здесь известняки прослежены на протяжении 400 м в виде пласта мощностью 1,7—2,8 м и шириной от 70 до 120 м, залегающего среди толщи глин. Содержание CaCO₃ 62,5—77,25%, MgCO₃ 2,02—2,52%. Ориентировочные запасы по категории C₁ — 103 тыс. т при мощности вскрыши до 10 м. Ввиду большой глубины залега-

ния, незначительной мощности и плохого качества промышленного значения известняки не имеют.

Мергель. Развит на большей части территории листа, однако практическое значение как сырье для производства кирпича и известкования почв, может иметь только в местах выходов на дневную поверхность и в местах неглубокого залегания. Промышленные месторождения мергеля отсутствуют. В основном мергель разрабатывается местным населением для собственных нужд (села Вороновка, Дыбница). Приурочен к отложениям киевских слоев. Мощность пластов разрабатываемых мергелей 2,5—3,7 м. Среднее содержание CaCO_3 составляет 67%.

Мергель в районе сел Вороновка и Дыбница может быть использован как сырье для производства кирпича.

Глинистые породы

Глины кирпичные. Сырьем для изготовления кирпича и черепицы являются лесс и лессовидные суглинки, моренные суглинки, пользующиеся повсеместным распространением. Они залегают неглубоко от поверхности, часто непосредственно под растительным слоем и обладают значительной мощностью, вследствие чего разрабатываются большим количеством карьеров, на базе которых работает ряд кирпичных заводов. Изредка для изготовления кирпича и черепицы используются пестрые глины и мергели.

На карте полезных ископаемых нанесены лишь месторождения, разрабатывающиеся наиболее крупными карьерами. Из них разведены:

гребенковское — полезным ископаемым является лесс, пригодный для производства кирпича марки «75». Запасы по категориям A_2+B+C_1 составляют 220,5 тыс. м³;

Кагарлыкское — полезным ископаемым являются лессы и желто-бурые суглинки, общей мощностью до 5,5 м. Для производства кирпича они пригодны в шихте, состоящей из 70% лесса и 30% суглинка. Марка кирпича «75». Утвержденные запасы по категории В составляют 217 тыс. м³.

Белоцерковское — суглинки желтовато-палевые, общей мощностью 2,5—3,0 м пригодны для производства кирпича марки «75»—«100» при температуре обжига 1020—1050°С. Утверждены следующие запасы (в тыс. м³): A_2 — 77, B — 60, C_1 — 84.

Мироновское — разведанные запасы суглинков и лессов, пригодных для производства кирпича марки «75» по категории В составляют 417 тыс. м³.

Синявское — бурые суглинки; химический состав его (в вес. %): SiO_2 76,4—84,8, Al_2O_3 6,2—11,5, Fe_2O_3 2,3—4,0, TiO_2 0,41—0,77, CaO 1,3—4,3, MgO 0,36—1,2, п. п. 2,48. Суглинки пригодны для производства строительного кирпича марки «100». Разведанные запасы по категории A_2+B составляют 314,6 тыс. м³.

Кривянское — полезным ископаемым являются глины желтые и серые, общей мощностью 5 м. Химический состав их (в вес. %): SiO_2 67,7—97,8, Fe_2O_3 0,08—6,58, Al_2O_3 1,43—12,44, MgO 0,18—1,09, TiO_2 0,09—1,52, CaO 0,21—2,37, SO_3 0—0,7, H_2O 0,32—4,7, п. п. 0,13—4,29. Физико-механические свойства глин: температура плавления 1360—1500°С, временное сопротивление сжатию 100—159 кг/см², водопоглощение 7,6—10,6%.

Желтые глины пригодны для изготовления кирпича, серые — для изготовления черепицы. Черепицу изготавливают из шихты: 1) серой глины 70%, бурой глины 20% и песка 10%; 2) серой глины 70%, бурой глины 20%, шамота и песка 10%. Разведанные запасы желтых глин по категории A_2 составляют 19050 м³, серых — 5450 м³.

Владиславское — полезным ископаемым являются суглинки, лессы, пестрые и темно-зеленые глины и мергели, общей мощностью до 14 м; пригодны для изготовления черепицы и кирпича. Черепицу изготавливают из шихты: 1) пестрая глина 50%, желто-бурые суглинки 50%; 2) глина пестрая 30%, желто-бурые суглинки 40%, лесс 30%. Кирпич получают из шихты: мергель

42%, глина темно-зеленая 16%, песок 10%, лесс 32%. Кирпич соответствует марке «150».

Общие разведанные запасы полезного ископаемого по категории A_2 составляют 1673 тыс. м³, по категории В — 1749 тыс. м³.

Глины формовочные, адсорбционные. Широко развиты в юго-восточной части листа и приурочены к отложениям полтавских слоев. Залегают в виде пластов мощностью от 0,5 до 25 м на глубине от 1,0 до 57,0 м. По литологическим признакам и минеральному составу глины разделяются на три горизонта: 1) глины зеленовато-серые, серые, светло-серые, мощностью 10—12 м, с прослойками и стяжениями известняка; 2) глины черные, коричневые, восковидные, мощностью до 4 м; 3) глины темно-зеленые, песчанистые, мощностью от 0,5 до 4 м.

Физико-механические свойства глин: оgneупорность 1100—1280°С, температура обжига 950—980°С, объем. вес — 1,55—1,84 г/м³, прочность на сжатие 0,9—1 кг/см². На основании лабораторных испытаний установлено, что глины пригодны для формовки деталей стального и чугунного литья, в качестве добавки к черепичным массам в количестве 10—25%, а также как сорбенты и катализаторы в нефтяной промышленности. Кроме того, черные глины среднего горизонта являются высококачественным сырьем для приготовления глинистых растворов.

На основании данных картировочного и поисково-разведочного бурения на карте полезных ископаемых выделена перспективная площадь для постановки разведочных работ на формовочные и адсорбционные глины и указан ряд наиболее крупных проявлений последних.

Обломочные породы

Песок строительный. В качестве строительного материала применяются четвертичные, реже пески полтавских слоев, широко развитые на исследуемой территории. Используются пески для строительных растворов и изготовления силикатного кирпича, в качестве отщающей добавки к кирпичной глине и для других целей. Пески белые и светло-серые, мелко- и среднезернистые, слабоглинистые, мощностью 2—10 м. Мощность вскрыши колеблется от 0,1 до 10 м. Обычно пески разрабатываются небольшими карьерами для местных нужд, иногда наряду с лессами и суглинками.

К настоящему времени из всех известных на территории листа месторождений строительного песка разведано только три: Зареченское, Чупирское, Владиславское.

На Чупирском месторождении разведанные запасы на площади 1 га по категории C_1 составляют 22,3 тыс. м³. Запасы песков Владиславского месторождения составляют 130 тыс. м³ по категории A_2 и 121 тыс. м³ по категории В при мощности вскрыши 3,5 м.

На Зареченском месторождении разведка песков проводилась на площади 110 га. Мощность песков 6,5 м, вскрыши 0,2—1,2 м. Запасы по категории A_2 составляют 489 тыс. м³, по категории В — 1095 тыс. м³, по категории C_1 — 2588 тыс. м³.

Источники минеральных вод

Воды трещинной зоны кристаллических пород докембрия в пределах зон тектонических нарушений отличаются повышенным содержанием радона. Наиболее высокое содержание радона установлено в районе г. Белой Церкви, ст. Мироновки, г. Богуслава и с. Владиславки. В водах из скважин, пробуренных на территории г. Белой Церкви, содержание радона достигает 297 эман. Минерализация воды повышенная (1,5—2,5 г/л) за счет гидрокарбонатов кальция и магния. Предполагаемые запасы радоновых вод на Белоцерковском участке (парк Александрия и ур. Голендерня) по категории C_1 составляют 1040 м³/сутки. Воды из скважин ст. Мироновки содержат радона около 440 эман и значительно минерализованы. Вскрыты скважинами на глубину

бинах 11,0—120,0 м. В с. Владиславка скважиной в интервале 42,5—77,0 м вскрыт водоносный горизонт с содержанием радона в воде 126 эман, радио 0,09 г/л. Вода с содержанием радона 93 эмана встречена в районе г. Богуслава. Минеральные воды г. Белой Церкви и ст. Мироновки представляют бальнеологический интерес. В настоящее время в этих районах действуют постоянные водолечебницы.

На основании данных, полученных при бурении на воду, выделены две перспективные площади для постановки поисковых работ на радионевые воды — район г. Белой Церкви и г. Богуслава — ст. Мироновки, которые в основном охватывают зоны тектонических нарушений.

На основании вышеизложенного следует отметить, что территория листа является перспективной для поисков промышленных месторождений адсорбционных и формовочных глин, строительных материалов (гранитов, мигматитов, кирпичных глин), титана и циркония, источников минеральных вод, силикатных никелевых руд. На площадях, наиболее перспективных в смысле обнаружения промышленных месторождений указанных полезных ископаемых, считаем целесообразным в первую очередь постановку геологической съемки масштаба 1 : 50 000 в пределах планшетов М-36-73-В и М-36-85-А, Б.

ПОДЗЕМНЫЕ ВОДЫ

На территории листа выделяются следующие водоносные горизонты и комплексы.

Водоносные горизонты в верхнечетвертичных и современных отложениях. На водораздельном плато и его склонах развит водоносный горизонт, приуроченный к лессам и лессовидным суглинкам. Обводненной является нижняя часть толщи. Глубина залегания вод колеблется от 3,0 до 11,8 м. Мощность водоносного слоя 0,2—2,0 м. Колодцы обеспечивают водопотребление до 500 л/сутки. Величина сухого остатка обычно не превышает 0,7 г/л. Воды жесткие, общая жесткость колеблется от 6,17 до 10,69 мг/экв. Горизонт испытывает органическое загрязнение. По анионному составу воды гидрокарбонатные, иногда гидрокарбонатно-сульфатные, по катионному чаще магниево-кальциевые, иногда кальциево-натриевые.

В долинах рек и балках распространен водоносный горизонт, приуроченный к аллювиальным и аллювиально-делювиальным отложениям. Водовмещающими породами являются пески и суглиники. Глубина залегания горизонта колеблется от 0,1 до 15,0 м. Мощность водоносного горизонта до 2,5 м. Суточное водопотребление из колодцев не превышает 1000 литров. Дебит скважины, эксплуатирующей данный водоносный горизонт, 1,39 л/сек. Воды отличаются слабой минерализацией. Сухой остаток обычно не превышает 0,67 г/л. Воды жесткие, иногда очень жесткие. Общая жесткость 6,28—9,52 мг/экв, местами 24 мг/экв. Воды относятся к гидрокарбонатно-кальциевым, гидрокарбонатно-кальциево-магниевым и гидрокарбонатно-магниевым.

Большого практического значения описанные выше горизонты не имеют.

Водоносный горизонт в среднечетвертичных отложениях. Распространен почти повсеместно, однако практическое значение имеет в крупных водно-ледниковых долинах, где воды, приуроченные к этому горизонту, являются основным источником водоснабжения. Водовмещающими породами являются пески и суглиники. Горизонт обычно имеет свободную поверхность. В пределах водно-ледниковых долин обладает напором, величина которого изменяется от 3,6 до 21,5 м. Мощность столба воды в колодцах 0,5—4,0 м. Колодцы обеспечивают водопотребление до 2200 л/сутки. В водно-ледниковых долинах горизонт эксплуатируется скважинами, дебит которых 1,0—1,66 л/сек. Удельный дебит 0,33—2,0 л/сек. Воды пресные. Величина сухого остатка колеблется от 1,2 до 1,8 г/л. Общая жесткость от 5—6 до 21 мг/экв, средняя 8—9 мг/экв. По типу преобладают гидрокарбонатно-магниевые, гидрокарбонатно-магниево-кальциевые и гидрокарбонатно-кальциевые воды. Горизонт испытывает органическое загрязнение (рис. 6).

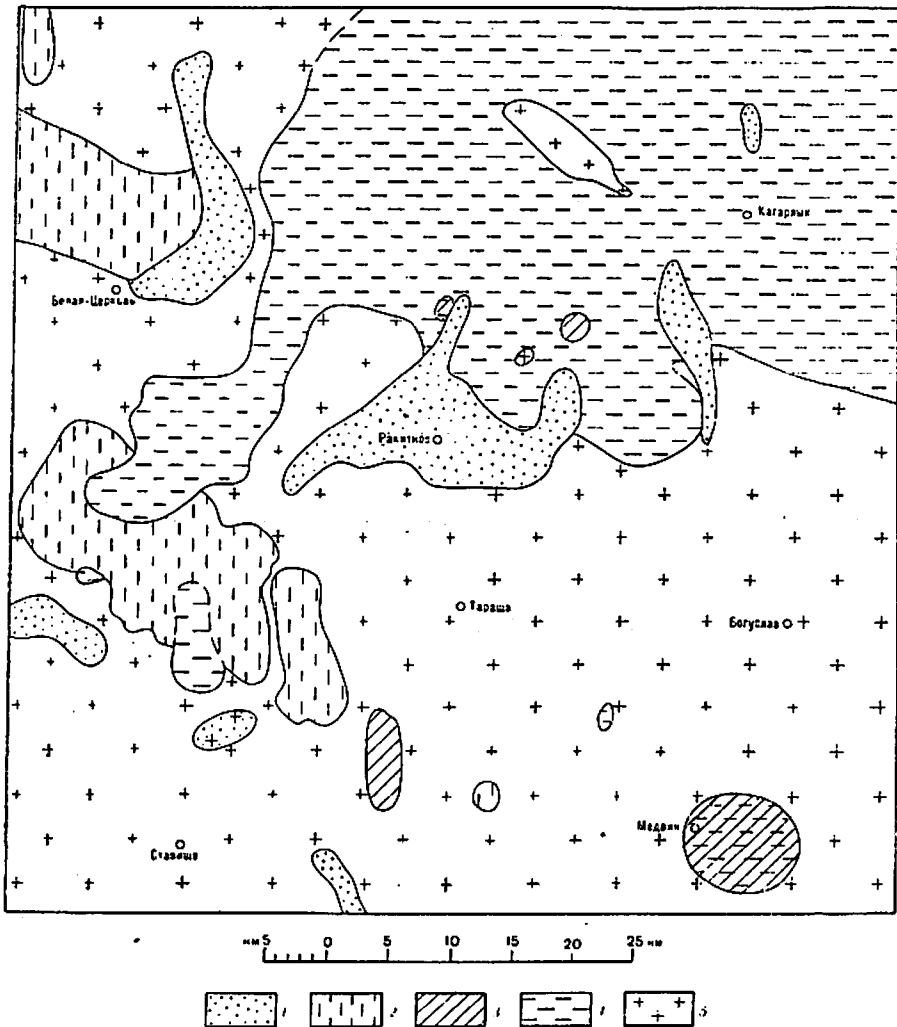


Рис. 6. Карта основных водоносных горизонтов. (Составил Ю. П. Сапрыкин)

1 — водоносный горизонт в песках и суглиниках среднечетвертичных отложений; 2—4 — водоносный горизонт песчаных отложений: полтавских слоев (2); киевских слоев (3); бутовских слоев (4); 5 — водоносный горизонт трещинной зоны кристаллических пород

Водоносный горизонт в отложениях полтавских слоев. Имеет ограниченное распространение по сравнению с общей площадью развития отложений полтавских слоев, однако в ряде мест имеет большое практическое значение и является основным источником централизованного водоснабжения. Водовмещающими породами являются пески. Глубина залегания водоносного горизонта колеблется от 21 до 42,2 м. Воды напорные. Глубина статического уровня изменяется от 12,0 до 39,3 м. Дебит скважин 0,7—2,08 л/сек, удельный дебит 0,035—0,8 л/сек. Дебит родников 0,2—2,5 л/сек. Воды пресные, слабо минерализованные, гидрокарбонатно-кальциево-магниевые, гидрокарбонатно-кальциево-натриевые и гидрокарбонатно-кальциево-магниево-натриевые. Величина сухого остатка 0,5—0,6 г/л. Общая жесткость от 4,67 до 8,55 мг·экв.

Водоносный горизонт в отложениях киевских слоев. Практическое значение имеет преимущественно на правобережье р. Рось, где значительным распространением пользуются пески. Мощность горизонта колеблется от 1—2 до 22 м. Глубина залегания от 50—67 м в центральной и юго-западной частях листа до 103 м на юго-востоке, в среднем составляя 70—90 м. Воды напорные. Величина напора около 22 м. В ряде мест, там, где эксплуатируется смешанный бучакско-киевский водоносный горизонт, величина напора достигает 31,0 м. Глубина установившегося уровня 14,0—28,8 м. Дебит скважин 1,6—2,0 л/сек. Удельный дебит 0,13—0,23 л/сек. Дебит скважин, эксплуатирующих смешанный бучакско-киевский водоносный горизонт, колеблется от 1,67 до 2,2 л/сек. Качество воды описываемого водоносного горизонта характеризуется одним анализом (с. Вел. Вовнишка). Вода пресная. Сухой остаток 0,27 г/л, жесткость 4,39 мг·экв. Тип воды гидрокарбонатно-кальциевый. Водоносный горизонт местами имеет тесную гидравлическую связь с бучакским и в ряде мест выделен как смешанный.

Водоносный горизонт в отложениях бучакских слоев. Особенно широко распространен на левобережье р. Росы. Водовмещающими породами являются пески. Глубина залегания водоносного горизонта 41,0—88 м. Воды напорные. Обычная величина напора 20—35 м. Абсолютные отметки пьезометрического уровня изменяются от 104,0 до 185,8 м. Дебит скважин 0,8—7,5 л/сек, в среднем составляя 1—4 л/сек. Удельные дебиты 0,027—1,8 л/сек. Воды пресные. Среди анионов преобладает гидрокарбонатный, среди катионов — кальций и магний. Величина сухого остатка 0,3—0,5 г/л. Общая жесткость 4,38—8,16 мг·экв. Отсутствие выдержаных пласти на площади водоупоров обусловливает более или менее тесную гидравлическую связь водоносного горизонта с выше- и нижележащими. В северо-восточной части листа данный горизонт является смешанным бучакско-каневским. Воды бучакского горизонта являются надежным источником водоснабжения крупных промышленных предприятий.

Водоносный горизонт в отложениях батского яруса. Распространен в районе сел Саливонки и Макеевка. Водовмещающими породами являются пески, слагающие либо весь разрез толщи, либо залегающие в виде прослоев среди толщи глин. Глубина залегания горизонта 70,0—94,4 м. Воды напорные. Величина напора изменяется от 18,5 до 69,0 м. Абсолютные отметки пьезометрического уровня колеблются в пределах 120,5—134,0 м. Дебит скважин 2,5—4 л/сек, уд. дебит 0,15—2,0 л/сек. Воды батского горизонта характеризуются слабой минерализацией (0,48 г/л). Общая жесткость — 6,18 мг·экв. Среди анионов преобладают гидрокарбонатный и сульфатный, среди катионов — кальций и натрий. Водоносный горизонт имеет гидравлическую связь выше- и нижележащими горизонтами. Ввиду ограниченного распространения и большой глубины залегания практическое значение его невелико.

Водоносный горизонт в отложениях верхнего отдела пермской системы. Распространен на небольшой площади в северо-восточной части листа. Водовмещающими породами являются пески, залегающие в кровле толщи. Глубина залегания водоносного горизонта колеблется от 169,8 до 188,4 м. Водоносный горизонт по данным скважины в с. Кузьминцы, обладает напором, величина которого 102,8 м. Дебит скважины 0,37 л/сек. Качество воды хорошее. Минерализация ее 0,58 г/л, общая жесткость — 8,4 мг·экв. По химическому составу она относится к гидрокарбонатно-кальциевым водам. Ввиду

большой глубины залегания и низкой водоотдачи практического значения не имеет.

Водоносный горизонт в трещиноватой зоне кристаллических пород. Пользуется повсеместным распространением. Глубина залегания горизонта колеблется от нескольких метров до 200 м и более. Мощность трещиноватой зоны достигает 100 м. Воды, циркулирующие по трещинам, находятся под напором, величина которого колеблется от 4,0 до 80,0 м, в среднем составляя 15—40 м. Абсолютные отметки пьезометрических уровней изменяются от 197 до 116 м. Дебит скважин изменяется в широких пределах от 0,19 до 9,3 л/сек. Наиболее высокими дебитами характеризуются скважины, вскрывшие трещинные воды в пределах тектонических зон. Дебит скважин, расположенных вне этих зон, редко превышает 2 л/сек. Величина удельных дебитов колеблется от 0,0005 до 5,3 л/сек. Воды обычно слабо минерализованы. Величина сухого остатка не превышает 0,5 г/л. В зонах тектонических нарушений величина сухого остатка достигает 1,9—2,1 г/л. По химическому типу воды чаще гидрокарбонатно-кальциевые и гидрокарбонатно-кальциево-магниевые. Жесткость вод повышенная (5,43—9,27 мг·экв). Редко встречаются воды средней жесткости (3,52—5,14 мг·экв). К Белоцерковской и Богуславско-Мироновской тектоническим зонам приурочены радионовые воды. Содержание радона в водах колеблется: от 30—50 до 400 эман в Белоцерковской тектонической зоне и от 93—112 до 440 эман в Богуславско-Мироновской тектонической зоне. Водоносный горизонт, приуроченный к трещиноватой зоне кристаллических пород, на значительной части листа является основным.

Большое практическое значение имеет также водоносный горизонт в бучакских отложениях.

ЛИТЕРАТУРА

Опубликованная

Барбот-де-Марии Н. П. Геологические исследования, проведенные в 1868 г. в губерниях Киевской, Подольской и Волынской. «Записки импер. с.-петерб. минер. об-ва», 2 сер., т. VII, ч. 7, 1872.

Безбородько Н. И. Явления ассимиляции и инъекционного метаморфизма на Подолии. Уральский Политехн. ин-т, ч. 1—2, 1924.

Бондарчук В. Г. Геоморфология УРСР. Вид «Радянська школа», 1949.

Геология СССР, т. V, Госгеолтехиздат, 1958.

Крокос В. И. Материалы для характеристики четвертичных отложений восточной и южной Украины. 1927.

Козловская А. Н., Ожегова М. И. Геолого-петрографическая карта Украинского кристаллического массива м-ба 1:500 000. Объяснит. зап. 1958.

Лапчик Ф. Е. Пермские и триасовые отложения Днепровско-Донецкой впадины и северо-западных окраин Донбасса. Изд-во АН УССР, 1958.

Ласкарев В. Д. Заметки по вопросу о тектонике Южно-Русской кристаллической полосы. «Изв. Геол. ком.», т. XXIV, 1905.

Личков Б. Л. Геологическое описание Киевской губернии. 1922.

Личков Б. Л. Некоторые данные о рельфе и тектонике кристаллических пород Украинской кристаллической полосы. «Вест. ЦВГК», вып. 5, 1924.

Личков Б. Л. О тектонических движениях Украинской кристаллической полосы и этапах развития Северо-Украинской мульды. «Изв. Ц. О. Геол-кома», вып. 6, 1925.

Личков Б. Л. О строении речных долин Украины. Л., изд-во АН СССР, 1931.

Лучицкий В. И. К вопросу о происхождении гранитов юга России. (Отд. оттиск из протоколы засед. общ-ва естествоиспыт. при импер. Варш. ун-те), 1910.

Луцицкий В. И. Вопросы стратиграфии и тектоники Украинской кристаллической полосы. «Бюлл. Моск. общ. испыт. природы. Отд. геол.», т. VIII (3—4), Москва, 1930.

Половинкин Ю. И. Стратиграфия, магматизм и тектоника докембрия Украинской ССР. Тр. лаборатории докембра, вып. 2, 1953.

Половинкин Ю. И. История развития магматизма в Украинском кристаллическом массиве. Тр. V сессии комиссии по определению абсолютного возраста геолог. формаций, 1956.

Соколов Н. А. Нижнетретичные отложения юга России. Тр. Геолкома, т. IX, № 2, 1893.

Слензак И. Е. Нижнетретичные угленакопления на правобережье Середнього Днепра. Вид-во АН УРСР, 1946.

Тектоніка території Української РСР та Молдавської РСР. Вид-во АН УРСР, 1959.

Тутковский П. А. Геологический очерк Васильковского и Уманского уездов Киевской губернии. Мат-лы по исслед. почв и грунтов Киевской губ., вып. II, 1915.

Феофилактов К. М. О кристаллических породах губерний Киевской, Волынской и Подольской. Тр. комиссии при Киевском ун-те, т. 1, 1851.

Чирвинский В. Н., Сябрай В. Т. Материалы к познанию буроугольных месторождений СССР с альбомом чертежей. Укр. НИГИ, 1935.

Слензак И. Е. Сводка по буроугольным месторождениям УССР. 1945.

Сперанский М. А. Отчет о работах Богуславской электроразведочной партии в 1954 г. 1955.

Ткачук Л. Г. Геологическая карта УССР, лист ХХIV-9. 1931.

Ткачук Л. Г., Дядченко М. Г. Геологическая карта УССР м-ба 1 : 200 000, лист М-36-XIX. 1941.

Чирвинский В. Н. Трехверстная геологическая карта УССР, Звенигородский планшет, ХХV-9. 1932.

Чирвинский В. Н. Материалы к познанию буроугольных месторождений УССР. Ч. I, II, III. 1936.

Якерсон Р. И. Отчет о работе Приднепровской магниторазведочной партии в 1945 г. 1946.

Фондовая *

Бабчук Ф. Г. Отчет о работах Побужской геофизической партии за 1953 г. 1954.

Балабушевич И. А. Некоторые данные о геологическом строении УССР, по материалам геофизических исследований. 1945.

Болюбах К. А., Шаган Л. П., Голод Е. И. Отчет о работах Корсуньской и Белоцерковской геофизических партий за 1957 г. 1958.

Голубенко В. М. Результаты работ по шлиховому опробованию долины р. Роси от г. Белая Церковь до ее впадения в р. Днепр.

Горячко И. В. Отчет о работе Белоцерковской электроразведочной партии, 1948 г. (Александровский р-н Кировоградской обл., Корсунь-Шевченковский, Богуславский, Медвинский и Белоцерковский р-ны Киевской обл.). 1949.

Заморий П. К., Веклич М. Ф. Геоморфология бассейна р. Росы (от истоков до г. Богуслава). 1951.

Заморий П. К., Веклич М. Ф. Геоморфология бассейна р. Росы (от г. Богуслава до устья). 1952.

Каптаренко-Черноусова О. К. Стратиграфическое взаимоотношение киевского и харьковского ярусов. 1946.

Козловская А. Н. Общая геологическая карта УССР, лист ХХIV-8 (Сквира — Белая Церковь). 1931.

Козловская А. Н. Структурно-петрографическая карта докембра УССР, м-б 1 : 50 000, лист М-35-Г (Винница), М-36-В (Кировоград), западная половина. 1953.

Кужелов Г. К. и др. Отчет о работе тематической партии № 125/59 по теме № 2 «Обобщение результатов геофизических исследований в пределах УКШ с целью его тектоники». 1960.

Лужанский Л. П. Общая геологическая карта УССР, лист ХХIII-9 (Васильков). 1931.

Матвиенко Е. М., Заморий П. К. и др. Комплексная геологическая карта УССР. Лист М-36-В (Кировоград). 1945.

Ничкевич О. Н., Матвиенко Е. М. Радиоактивность источников г. Белая Церковь и перспективы их использования. Фонды ИГ АН УССР, 1945.

* Хранится в Украинском территориальном геологическом фонде.

ПРИЛОЖЕНИЕ 1

**СПИСОК МАТЕРИАЛОВ, ИСПОЛЬЗОВАННЫХ ДЛЯ СОСТАВЛЕНИЯ
КАРТЫ ПОЛЕЗНЫХ ИСКОПАЕМЫХ**

№ п/п	Фамилия, инициалы автора	Название работы	Год со- ставле- ния или издания	Местонахождение материала, его фондовый № или место издания
1	Алекина З. Ф.	Материалы геологиче- ского обследования по изысканию карбонатных пород для целей извест- кования почв, произве- денного в 1954 г. в Богу- славском, Таращанском и Ставицянском р-ах Ки- евской обл.	1954	Фонды Глав- геологии УССР, 20430
2	Буцый А. Г.	Отчет о геологоразвед- очных работах, прове- денных на Карапышском месторождении гранита в 1958 г. (с. Карапыши, Старченковский р-н, Ки- евской обл., УССР)	1959	Там же, 20362
3	Валяшко Г. И.	Справочник по место- рождениям естественных строительных материалов Киевской обл., УССР	1954	Там же, 15341
4	Валяшко Г. И.	Отчет о результатах геолого-поисковых работ на карбонатное сырье для известкования почв в Киевской обл.	1957	Там же, 17996
5	Володин Г. С.	Геологический отчет по Синявскому месторожде- нию гранита	1937	Там же, 584
6	Гойжевский А. А., Пузик К. А.	Проект геологопоиско- вых работ Правобереж- ной экспедиции на ти- тан в центральной ча- сти УКШ (юг Киевской обл.) на 1961—1962 гг.	1961	Трест «Киевгео- логия»
7	Головань Ф. М.	Отчет о разведке Ка- гарлыкского месторожде- ния кирпичных суглини- ков, произведенной в 1954 г. в Киевской обл.	1954	Фонды Глав- геологии УССР, 15040
8	Головатый Ф. М., Муштенко И. Ф.	Минерально - сырьевая база местных строитель- ных материалов Киев- ской обл., УССР	1959	Там же, 19921

Продолжение прилоз. 1

№ п/п	Фамилия, инициалы автора	Название работы	Год со- ставле- ния или издания	Местонахождение материала, его фондовый № или место издания
9	Горбачевский Г. Е.	Отчет о детальных гео- логоразведочных работах на кирпичное сырье для Кагарлыкского райпром- комбината Киевского Облместтоппрома	1954	Фонды Глав- геологии УССР, 16266
10	Горбачевский Г. Е.	Отчет о результатах геологоразведочных раб- бот на Белоцерковском месторождении кирпич- ного сырья (г. Белая Церковь, Киевской обл., УССР)	1954	Там же, 14459
11	Гринюк М. Д., Ткаченко Н. В.	Отчет о геологоразвед- очных работах, прове- денных на Бушевском месторождении гранитов	1953	Там же, 14381
12	Денисов К. И., Олейникова З. Н.	Отчет о наличии строи- тельных материалов для строительства ЛЭП- 110 кв. Киев — Белая Церковь (центральная часть Киевской обл.)	1954	Фонды Глав- геологии УССР,
13	Денисевич А. А.	Отчет о детальной раз- ведке Белоцерковского месторождения кирпич- ного сырья (участок тре- ста «Сахспецстрой»)	1954	Там же, 14594
14	Домоховская Т. П.	Геологический отчет по рекогносцировочно-поис- ковым работам на гра- ниты в районе г. Белая Церковь, Киевской обл.	1937 1938	Там же, 588
15	Дубына И. В.	Геологический отчет о детальной разведке Си- нявского (Ракитнянско- го) месторождения гра- нита Ракитнянского р-на, Киевской обл.	1937	Фонды Глав- геологии УССР,
16	Дубяга Е. А., Халевская Р. М.	Отчет о геологоразвед- очных работах, прове- денных на Владислав- ском месторождении кир- пично-черепичных глин	1951	Фонды Глав- геологии УССР, 10055

Продолжение прилож. I

№ п/п	Фамилия, инициалы автора	Название работы	Год со- ставле- ния или издания	Местонахождение материала, его фондовый № или место издания
17	Дубяга К. Г.	Заключение по геологоразведочным работам, проведенным на Богуславском месторождении гранита	1953	Фонды Главгеологии УССР, 12094
18	Дубяга Е. А.	Отчет о работах, проведенных на Островском месторождении гранита Ракитнянского района, Киевской обл. УССР	1955	Там же, 16237
19	Дядченко Г. Г.	Отчет о детальной разведке Ольшаницкого месторождения гранита	1951	Там же, 10671
20	Жукова Е. Е.	Отчет о рекогносцировочно-поисковых работах Карловской партии на гранит для бута и щебня, проведенных в южной части Киевской и Черкасской обл.	1956	Там же, 17187
21	Злобенко И. Ф.	Проект работ Южно-Украинской экспедиции на 1959—1961 гг. (поиски титано-циркониевых руд в пределах Кировоградской и Черкасской обл.)	1958	Трест «Киевгеология»
22	Иvantишин М. А.	Молибденовые рудо-проявления Украинской кристаллической полосы	1941	Фонды Главгеологии УССР, 3242
23	Киор Е. Н.	Отчет о детальной геологической разведке Белоцерковского месторождения песка (урочище «Заречье») Белоцерковского р-на, Киевской обл., УССР	1957	Там же, 18613
24	Клыков А. Г.	Предварительное заключение о результатах произведенных гидрогеологических исследований на радионовые воды в районе г. Белой Церкви Киевской обл. в 1959—1960 гг.	1961	Фонды Главгеологии УССР,
25	Козловская А. Н.	Общая геологическая карта УССР, лист ХХIV-8 (Сквира — Белая Церковь)	1931	Фонды Главгеологии УССР, 3335

Продолжение прилож. I

№ п/п	Фамилия, инициалы автора	Название работы	Год со- ставле- ния или издания	Местонахождение материала, его фондовый № или место издания
26	Кондзерский В. В.	Паспорт Макеевского месторождения кирпичной глины	1945	Фонды Главгеологии УССР, 4485
27	Корж В. Д.	Отчет о геологоразведочных работах, проведенных на Бушевском месторождении гранита в 1954 г.	1955	Там же, 16238
28	Костюк Н. П.	Отчет о производстве детальных геологоразведочных работ на Богуславском месторождении гранита	1955	Там же, 15332
29	Кузьменко В. И., Ожегова М. И. и др.	Декоративные строительные камни УССР. Сборник	1936 1937	Там же, 654
30	Кузьменко В. И.	Обследование месторождений каменных строительных материалов вдоль ж. д. Мироновка—Каменка	1937 1938	Фонды Главгеологии УССР,
31	Кушина Е. П.	Описание месторождений карбонатного сырья Киевской обл.	1954	Фонды Главгеологии УССР, 14550
32	Леви Р. М.	Отчет о результатах геологоразведочных работ на Узинском месторождении кирпичного сырья (с. Узин, Узинского р-на, Киевской обл., УССР)	1954	Там же, 16265
33	Липковская А. В., Шевко В. С.	Справочник по месторождениям строительных материалов УССР, Киевской обл.	1944	Там же, 4081
34	Липковская А. В.	Отчет о детальной разведке Синявского месторождения кирпичных суглинков в 1956—1957 гг. (Ракитнянский р-н, Киевской обл., УССР)	1957	Там же, 19000
35	Лужанский Л. А.	Общая геологическая карта УССР, лист ХХIII-9 (Васильков)	1930— 1931	Там же, 4025

Продолжение прилож. I

№ п/п	Фамилия, инициалы автора	Название работы	Год со- ставле- ния или издания	Местонахождение материала, его фондовый № или место издания
36	Лужанский Л. А.	Геологическая карта Украины, лист ХХIII-8 (Фастов)	1931—1933	Фонды Глав-геологии УССР, 3356
37	Мокроусов Г. Н., Троицкая Н. И.	Отчет о рекогносцировочно-поисковом обследовании Правобережной Украины (Киевской, Житомирской, Винницкой, Кировоградской и Днепропетровской обл.) на формовочные пески в 1945—1946 гг.	1947	Там же, 5991
38	Нацик П. Л.	Отчет о поисках цементного сырья в Лысячанском и Богуславском р-нах Киевской обл.	1951	Там же, 9355
39		Паспорт Шкаровского месторождения гранита	1939	Там же, 31
40		Паспорт месторождения гранита с. Хохитва	1939	Там же, 41
41		Паспорт Туникского месторождения кирпичной глины	1944—1945	Там же, 4375
42		Паспорт месторождения гранита ур. «Кошик»	1939	Там же, 28
43		Паспорт месторождения гранита ур. «Зверинец» с. Остров	1939	Там же, 33
44		Паспорт Белоцерковского месторождения кирпичных глин	1940	Там же, 142
45		Паспорт Глыбочского месторождения гранита	1939	Там же, 27
46	Петров В. Г.	Отчет по детальной разведке гранитов месторождения «Белая Церковь» (ур. «Кошик»)	1936—1937	Там же, 617
47	Покальчук Е. А.	Геологический отчет о геологопоисковых работах на черепичные глины в с. Туники (ур. «Морозовка») Богуславского р-на, Киевской обл.	1944—1945	Там же, 4676

Продолжение прилож. I

№ п/п	Фамилия, инициалы автора	Название работы	Год со- ставле- ния или издания	Местонахождение материала, его фондовый № или место издания
48	Покальчук Е. А.	Геологический отчет о геологопоисковых и разведочных работах на черепичные глины в с. Макеевка, Узинского р-на, Киевской обл.	1944—1945	Фонды Глав-геологии УССР, 4661
49	Покальчук Е. А.	Геологический отчет о геологопоисковых и разведочных работах на черепичные глины в с. Жовтнева, Кагарлыкского р-на, Киевской обл.	1944—1945	Там же, 4674
50	Сагайдак И. Г., Кузьменко В. И.	Кристаллические породы УССР как строительные материалы	1936	Там же, 622
51		Сведения о состоянии запасов гранита на 1 января 1960 г.	1960	Там же, 20779
52		Сведения о состоянии запасов кирпично-черепичной глины на 1 января 1960 г.	1960	Там же, 20775
53		Сведения о состоянии запасов гранита на 1 января 1959 г.	1959	Там же, 19955
54	Сикорская Г. В.	Отчет о произведенных геологоразведочных работах на кирпично-черепичные глины на территории кирпично-черепичного завода в с. Крича Таращанского р-на Киевской обл.	1949	Там же, 7723
55	Смутный В. Э.	Геологический отчет о поисках балластных материалов вдоль ж.-д. линии Житомир — Фастов — Мироновка юго-западной ж. д.	1951	Там же, 13790
56	Танкилевич И. М.	Заключение о результатах геологопоисковых работ на известняки, выполненных у с. Митаевка Богуславского р-на, Киевской обл. и с. Бродок, Лысянского р-на, Черкасской обл., УССР	1947	Там же, 17658

Продолжение прилож. I

№ п/п	Фамилия, инициалы автора	Название работы	Год со-ставле-ния или издания	Местонахождение материала, его фондовый № или место издания
57	Тищенко А. П.	Заключение по геологическому обследованию Богуславского месторождения гранита дробильно-тесового завода НКПСМ УССР	1944	Фонды Глав-геологии УССР, 3820
58	Ткачук А. Г.	Геологическая карта УССР, лист ХХIV-9	1931	Там же, 3420
59	Товаровская Ф. Б.	Отчет о детальной разведке кирпичных суглинков на Белоцерковском месторождении юго-западной ж. д.	1956	Там же, 17120
60	Томашпольский Г. М., Дибнер Б. Р.	Отчет о результатах геологоразведочных работ, произведенных в 1953 г. на Синявском (Ракитнянском) месторождении гранита	1953	Там же, 13660
61		Торфяной фонд УССР по состоянию на 1 января 1959 г.		Укр. НИИ МИТП, Москва, 1959.
62	Тютюник В. М., Головатый Ф. М.	Геологический отчет о результатах геологоразведочных работ, произведенных Правобережной геологической экспедицией в 1958—1960 гг. на Дашуковском участке формовочных глин Черкасского месторождения	1960	Фонды Глав-геологии УССР, 21005
63	Халевская Р. М.	Отчет о поисково-разведочных работах, произведенных на Зареченском месторождении песков для силикатных изделий	1957—1958	Там же, 19147
64	Чередниченко А. И.	Геологический отчет о поисковых работах, выполненных в 1947 г. Белоцерковской геологоразведочной партией	1947	Там же, 6406
65	Чужин М. С.	Отчет о результатах геологопоисковых работ на граниты у с. Карапыши, Старченковского р-на, Киевской обл., УССР	1957	Там же, 18904

Продолжение прилож. I

№ п/п	Фамилия, инициалы автора	Название работы	Год со-ставле-ния или издания	Местонахождение материала, его фондовый № или место издания
66	Шоцкий И. И.	Проект геологопоисковых работ Правобережной экспедиции на силикатные никелевые руды на 1961 г.	1961	Трест «Киевгеология»
67	Шунько В. И. и др.	Комплексная геологическая карта территории листа М-36-XIX (Белая Церковь) м-ба 1 : 200 000	1961	Фонды Глав-геологии УССР

ПРИЛОЖЕНИЕ 2

СПИСОК ПРОМЫШЛЕННЫХ МЕСТОРОЖДЕНИЙ ПОЛЕЗНЫХ ИСКОПАЕМЫХ, ПОКАЗАННЫХ НА ЛИСТЕ
М-36-XIX КАРТЫ ПОЛЕЗНЫХ ИСКОПАЕМЫХ м-ба 1:200 000

Номер по карте	Индекс клетки на карте	Наименование месторождения и вид полезного ископаемого	Состояние эксплуатации	Тип месторождения (К—коренное, Р—россыпное)	Номер использованного материала по списку (прилож. 1)	Примечание
----------------	------------------------	--	------------------------	---	---	------------

Горючие ископаемые

92	II-4	Т о р ф	Эксплуатируется	K	67, 61	
12	I-2	с. Александровка с. Глушки	То же	K	61, 67	

Металлические ископаемые

Черные металлы

97	III-1	Титан Тарасовское	Законсервировано	R	67	Разведано
----	-------	----------------------	------------------	---	----	-----------

Строительные, огнеупорные, абразивные и другие материалы

Извещенные породы

42	II-1	Граниты и мигматиты г. Белая Церковь	Законсервировано	K	67	
41	II-1	г. Белая Церковь (северо-восточная окраина)	"	K	67	
45	II-1	г. Белая Церковь	"	K	67	

47	II-1	г. Белая Церковь (восточная окраина)	Эксплуатируется	K	8, 29, 67	Общая пло-щадь м-ния 5—6 га Запасы по кат. С ₁ —420 т. м ³
126	III-3	с. Бовкун (северо-западная окраина)	"	K	8, 20, 58, 67	
146	III-4	г. Богуслав	Законсервировано	K	8, 28, 58, 51, 67	Разведано
50	II-1	с. Глыбочка (западная окраина)	"	K	8, 45, 67	Обследовано
52	II-1	Западная окраина с. Глыбочка	"	K	67	
55	II-1	с. Глыбочка (700 м к западу)	Эксплуатируется	K	67	
57	II-1	с. Глыбочка (против западной окраины)	"	K	67	
56	II-1	с. Глыбочка (южная окраина)	"	K	67	
63	II-1	с. Городище (против южной окраины села)	"	K	67	
141	III-4	с. Дешки (западная окраина)	Законсервировано	K	8, 51, 67	
131	III-4	Хутор Дьяченков	Эксплуатируется	K	28, 51, 65, 67	Разведано
36	II-1	с. Заречье	"	K	67	
175	IV-3	с. Косяковка (западная окраина)	"	K	8, 67	
46	II-1	Ур. «Кошик» (северо-восточная окраина)	Законсервировано	K	67	
48	II-1	Ур. «Кошик»	Эксплуатируется	K	8, 14, 42, 46, 51, 67	
123	III-3	с. Ольшаница (юго-западная окраина)	"	K	8, 19, 51, 55, 58, 67	"

Продолжение прилож. 2

Номер по карте	Индекс клетки на карте	Наименование месторождения и вид полезного ископаемого	Состояние эксплуатации	Тип месторождения (К—коренное, Р—россыпное)	Номер используемого материала по списку (прилож. 1)	Примечание
124	III-3	с. Ольшаница (Бушевское, против юго-западной окраины)	Эксплуатируется	К	8, 11, 27, 67	
79	II-2	с. Остров (в 800 м к востоку от села)	Эксплуатируется	К	8, 18, 43, 51, 67	"
61	II-1	с. Пилипча	"	К	3, 8, 20, 25, 67	
77	II-2	с. Пугачевка	"	К	8, 51, 53, 55, 67	
78	II-2	с. Пугачевка (против восточной окраины)	"	К	67	Запасы по кат. С ₁ 2084 т. м ³
139	III-4	с. Раскопанцы (против центральной части)	"	К	20, 30, 67	
80	II-2	с. Синява (северо-западная окраина)	"	К	5, 8, 15, 51, 53, 60, 67	Разведано
142	III-4	с. Тептиевка	"	К	8, 67	
143	III-4	с. Хохитва (в 750 м к северо-востоку)	"	К	8, 30, 40, 67	"
147	III-4	Против с. Хохитвы	"	К	8, 19, 51, 57, 67	
49	II-1	с. Чмыревка (против восточной окраины)	"	К	67	

Карбонатные породы

Известняки						
176	IV-3	Митаевское	Эксплуатируется	К	1, 4, 31, 56, 67	Запасы по кат. С ₁ —103 тыс. т
177	IV-3	с. Чаплинка	Законсервировано	К	1, 4, 31, 38, 67	
Мергели						
21	I-4	с. Вороновка (северо-западная окраина)	Эксплуатируется	К	67	
145	III-4	с. Дыбинцы (западная окраина)	Законсервировано	К	67	

Глинистые породы

Глины кирпичные, лёсс и суглинок						
15	I-2	с. Антоновка (южная окраина)	Эксплуатируется	К	8, 33, 35, 67	
156	IV-1	с. Антоновка (западная окраина)	"	К	67	
64	II-1	с. Бакалы	"	К	67	
65	II-1	с. Бакалы	"	К	8, 67	
27	II-1	г. Белая Церковь (северо-восточная окраина)	Законсервировано	К	8, 10, 13, 52, 67	Разведано
29	II-1	г. Белая Церковь	Эксплуатируется	К	8, 10, 13, 33, 44, 67	"
34	II-1	г. Белая Церковь (северо-восточная окраина)	"	К	8, 10, 13, 52, 59, 67	"
168	IV-3	Велико-Березянское	"	К	8, 67	
172	IV-3	с. Веселый Кут	"	К	67	

Номер по карте	Индекс клетки на карте	Наименование месторождения и вид полезного ископаемого	Состояние эксплуатации	Тип месторождения (К—коренное, Р—россыпное)	Номер используемого материала по списку (прилож. 1)	Примечание
132	III-4	с. Владиславское	Эксплуатируется	К	8, 16, 33, 51, 58, 67	Разведано
3	I-1	с. Гребенки	"	К	8, 67	
4	I-1	с. Гребенки (в 4 км юго-западнее)	"	К	8, 67	
134	III-4	с. Гули	"	К	3, 8, 33, 67	
148	III-4	с. Дыбинецкое	"	К	8, 67	
131	III-4	Хутор Дьяченков	"	К	67	
76	II-2	Житнегорское	Законсервировано	К	8, 67	
159	IV-2	с. Журавлиха (северо-западная окраина)	Эксплуатируется	К	67	
160	IV-2	с. Журавлиха (западная окраина)	"	К	67	
151	IV-1	с. Ивановка	"	К	67	
26	I-4	Кагарлыкское	"	К	7, 8, 9, 52, 67	
86	II-4	с. Кагарлык (южная окраина)	"	К	8, 49, 67	Разведано
179	IV-4	Кидановское	"	К	8, 67	
125	III-3	с. Кирданы (в 700 м к северу)	"	К	8, 67	
74	II-2	с. Клочки (восточная окраина)	"	К	8, 33, 67	
166	IV-3	с. Ковшеватое	"	К	8, 67	

62	II-1	с. Кожениковское	Законсервировано	К	8, 33, 67	Разведано
110	III-2	Б. Коржев Яр	Эксплуатируется	К	67	
109	III-2	Кривянское	"	К	8, 52, 54, 67	
11	I-2	с. Лосятин	"	К	67	
167	IV-3	с. Лука	"	К	67	
8	I-2	с. Макеевка	Законсервировано	К	8, 26, 33, 35, 48, 67	
81	IV-3	с. Маковка	Эксплуатируется	К	67	
54	II-1	Б. Малышка	Законсервировано	К	67	
181	IV-4	Медвинское	Эксплуатируется	К	8, 33, 58, 67	
130	II-4	Мироновское	Законсервировано	К	8, 52, 67	
137	III-4	Михайловское	Эксплуатируется	К	8, 67	
106	III-2	Насташковское	"	К	-	
93	III-1	Озерянское	"	К	-	
13	I-2	с. Олейникова Слобода (юго-западная окраина)	Законсервировано	К	8, 36, 67	
14	I-2	с. Олейникова Слобода	Эксплуатируется	К	8, 67	
10	I-2	Ольшанско-Новоселицкое	"	К	-	
70	II-2	Острийковское	"	К	-	
17	I-3	с. Перегоновка	"	К	-	
120	III-2	с. Потоки	"	К	67	
89	II-4	с. Пустовиты	"	К	67	
72	II-2	с. Савинцы	Эксплуатируется	К	67	

Продолжение прилож. 2

Номер по карте	Индекс клетки на карте	Наименование месторождения и вид полезного ископаемого	Состояние эксплуатации	Тип месторождения (К—коренное, Р—россыпное)	Номер использованного материала по списку (прилож. 1)	Примечание
107	III-2	Салихское	Эксплуатируется	К	67	
16	I-3	с. Семеновка	"	К	67	
182	IV-4	с. Сидоровка (западная окраина)	"	К	67	
183	IV-4	с. Сидоровка	"	К	67	
105	III-2	с. Синявское	"	К	8, 34, 52, 67	Разведано
157	IV-1	с. Снежки	"	К	67	
153	IV-1	с. Ставище	"	К	67	
154	IV-1	Ставищанское	"	К	3, 8, 25, 67	
155	IV-1	с. Ставище	"	К	8, 67	
83	II-3	Телешовское	"	К	8, 67	
82	II-3	с. Терновка	"	К	67	
136	III-4	с. Туникское	"	К	8, 41, 47, 58, 67	
71	II-2	Узинское	Законсервировано	К	8, 32, 52, 67	
114	III-2	с. Улашевка	Эксплуатируется	К	8, 67	
1	I-1	с. Устиновка	"	К	67	
20	I-4	с. Халча	"	К	67	

5	I-1	Храпаченское	Эксплуатируется	К	8, 67	
68	II-1	Черкасское	Законсервировано	К	8, 33, 67	
116	III-2	Чернинское	Эксплуатируется	К	8, 67	
2	I-1	свх. Черныши	"	К	67	
19	I-3	Шпендовское	"	К	8	

Обломочные породы

Песок строительный						
9	I-2	с. Васильев	Эксплуатируется	К	67	
170	IV-3	с. Веселый Кут (западная окраина)	"	К	67	
132	III-4	Владиславское	"	К	16, 67	Разведано
22	I-4	с. Дедовщина (против северной окраины)	"	К	67	
44	II-1	Зареченское	"	К	8, 23, 53, 63, 67	Разведано
25	I-4	с. Кадомка	"	К	67	
119	III-2	с. Казаковка	"	К	67	
75	II-2	с. Клочки	"	К	67	
37	II-1	с. Костопальня	"	К	57	
87	II-4	с. Липовец	"	К	67	
121	III-2	с. Лисовичи	"	К	67	
7	I-2	с. Макеевка	"	К	67	
53	II-1	Б. Малышка	"	К	67	
180	IV-4	с. Медвич (против восточной окраины)	"	К	8, 67	

Приложение 2

Номер по карте	Индекс клетки на карте	Наименование месторождения и вид полезного ископаемого	Состояние эксплуатации		Примечание
			Тип месторождения (К—коренное, Р—рассыпное)	Номер испытанного материала по списку (прилож. 1)	
137	III-4	с. Михайловка	Законсервировано	К	67
30	II-1	с. Глестная	"	К	67
173	IV-3	с. Побережка (в 800 м к востоку)	"	К	67
127	III-3	с. Грачыха	"	К	67
118	III-2	с. Рижки	"	К	67
88	II-4	с. Россава	"	К	67
152	IV-1	с. Станище	"	К	67
115	III-2	с. Улашевка (западная окраина)	Законсервировано	К	67
111	III-2	с. Улашевка	Эксплуатируется	К	67
32	II-1	с. Фурры	Законсервировано	К	8, 37, 67
112	III-2	с. Чернин	Эксплуатируется	К	67
101	III-1	Чупирское	"	К	8, 67
60	II-1	Шкарковское	Законсервировано	К	8, 12, 67

ПРИЛОЖЕНИЕ 3

СПИСОК НЕПРОМЫШЛЕННЫХ МЕСТОРОЖДЕНИЙ ПОЛЕЗНЫХ ИСКОПАЕМЫХ, ПОКАЗАННЫХ НА ЛИСТЕ М-36-XIX КАРТЫ ПОЛЕЗНЫХ ИСКОПАЕМЫХ м-ба 1 : 200 000

№ по карте	Индекс клетки на карте	Наименование месторождения и вид полезного ископаемого	Состояние эксплуатации	Тип месторождения (К—коренное, Р—рассыпное)
				№ использования полезного материала по списку (приложение 1)

Горючие ископаемые

103	III-1	Т о р ф с. с. Любча — Ожеговка	Эксплуатируется	К	61, 67
108	III-2	с. Потеевка	"	К	61, 67
128	III-4	с. Пустовиты (в 750 м к западу)	"	К	61, 67
84	II-3	с. Ромашки	Отработано	К	-
117	III-2	с. Севериновка	Эксплуатируется	К	-
6	I-1	с. Храпачи	"	К	-
73	II-2	с. Чепелевка	"	К	-
98	III-1	с.с. Чупира — Потеевка	"	К	-
158	IV-2	с.с. Ясеневка — Журавлиха	"	К	-

Металлические ископаемые

150	IV-1	Т и т а н с. Василиха	Законсервировано	Р	67
185	IV-1	с. Журжинцы	"	Р	21
85	II-4	с. Кагарлык	"	Р	21
135	III-4	с. Мисайловка	"	Р	21
96	III-1	с. Озерное (юго-восточная окраина)	"	Р	6, 67
99	III-1	с. Озерное (500 м южнее Озирного сахарного завода)	"	Р	6
102	III-1	с. Пахомовка (в 4 км восточнее)	"	Р	21
149	III-4	с. Поташня	"	Р	21
122	III-2	с. Червонны Яры (в 3,1 км южнее)	"	Р	6, 67
133	III-2	с. Чернин	"	Р	67

ПРИЛОЖЕНИЕ 4

**СПИСОК ПРОЯВЛЕНИЙ ПОЛЕЗНЫХ ИСКОПАЕМЫХ, ПОКАЗАННЫХ НА ЛИСТЕ М-36-XIX
КАРТЫ ПОЛЕЗНЫХ ИСКОПАЕМЫХ м-ба 1:200 000**

Номер по карте	Индекс клетки на карте	Название (местонахождение) проявления и вид полезного ископаемого	Характеристика проявления	№ используемого материала по списку, 1)	Примечание
Горючие ископаемые					
18	I-3	Бурый уголь с. Гороховатка	Уголь залегает на глубине 93,0 м. Мощность угля 2,0 м.	64	Уголь встречен поисково-разведочной скважиной. Анализы не проводились
94	III-1	с. Коржевка	Уголь залегает на глубине от 45,8 до 58,5 м в виде одного пласта, мощностью от 0,3 до 4,0 м. Площадь распространения угля составляет около 51 км ²	67	Уголь встречен девятью скважинами картировочного бурения. А° от 45,5%
184	IV-4	с. Медвина	Площадь углерождения составляет около 31 км ² , глубина залегания угля 59,0—105,0 м. Мощность пласта 0,8—4,0 м.	67	Встречен тремя поисково - разведочными скважинами. По данным технологического анализа А° от 23,6 до 36,4%. На карте выделена площадь углерождения
Металлические ископаемые					
Черные металлы					
67	II-1	с. Однорог, (в 500 м к северо-востоку)	Глубина залегания угля 22,1 м, мощность пласта 4,4 м	64	Встречен поисково-разведочной скважиной. Анализы не производились
104	III-1	с. Острая Могила (в 3,5 км к востоку)	Уголь вскрыт скважиной на глубине 43,7 м, мощность пласта 6,6 м	67	Уголь отличается высокой зольностью А° 41,3—52,3%
24	I-4	с. Переселение	Уголь залегает на глубине 87,0 м., мощность пласта достигает 2 м.	64	Встречен скважиной. Анализы не производились
100	III-1	с. Тадневка	Уголь залегает на глубине 31,0 м.; мощность пласта 3,5 м.	67	"
69	II-2	с. Узин	Уголь залегает на глубине 67,0 м; мощность угольного пласта 2,0 м.	64	"
66	II-1	хутор Черкассы (200 м на северо-восток)	Уголь бучакской свиты, залегает на глубине 48,5 м; мощность пласта 2,0 м	64	"
Титан					
95	II-1, II-2, III-1, III-2, III-3, III-4, IV-2, IV-3, IV-4	с. Тарасовка	Ореол рассеивания	67	

Номер по карте	Индекс клетки на карте	Название (местонахождение) проявления и вид полезного ископаемого	Характеристика проявления	№ использованного материала по списку (прилож. 1)	Примечание
<i>Цветные металлы</i>					
33	II-1	Никель г. Белая Церковь	Рудная минерализация приурочена к тально-хлоритовым породам, вскрытым скважиной на глубине от 31,7 до 64,5 м	66, 67	По данным химического анализа, содержание никеля от 0,05 до 0,22%, хрома от 0,17% до 0,28%
<i>Редкие металлы</i>					
129	II-4	Молибден ст. Мироновка	Рудная минерализация приурочена к гибридным гранитам и представлена мелкими чешуйками молибдена.	22	Анализы не производились
<i>Неметаллические ископаемые</i>					
<i>Минеральные удобрения</i>					
144	III-4	Фосфорит с. Дыбница	Обнаружен в виде фосфатных стяжений, размером 2—3 см среди алевритов харьковской свиты	67	
<i>Керамическое сырье</i>					
23	I-4	с. Переселение	Фосфоритоносные отложения встречены на глубине 80,8 м. Желваки светлого фосфорита обнаружены среди глин киевской свиты	67	
50	II-1	Пегматит с. Глыбочка (западная окраина)	На правом берегу р. Росы, в северной части забоя карьера встречаются крупные, площадью несколько десятков квадратных метров, неправильные по форме тела крупнозернистого пегматита	67	
51	II-1	с. Глыбочка (северная окраина)	На правом берегу р. Росы в границе встречаются извилистые жилы крупнозернистого пегматита, мощностью от 0,1 до 1,5 м.	67	
59	II-1	с. Городище	Среди биотитовых гнейсов встречаются согласные и секущие жилы розового пегматита, крупнозернистого, мощностью до 1,5 м		
58	II-1	с. Пилипча	Среднезернистый гранит и биотитовый гнейс прорваны жилами крупнозернистого розового пегматита, мощностью до 2,5 м	67	
80	II-2	с. Синява (северо-западн. окраина)	Мигматит и гранит в различных направлениях прорваны жилами мясокрасного пегматита, имеющих у контакта со вмещающими породами письменную структуру; мощность жил 1,5—2,70 м.	67	

Продолжение прилож. 4

Номер по карте	Индекс клетки на карте	Название (местонахождение) проявления и вид полезного ископаемого	Характеристика проявления	№ использованного материала по списку (прилож. 1)	Примечание
43	II-1	с. Фурсы	По обоим берегам р. Каменки в ряде карьеров обнажается гранит, прорванный многочисленными жилами розового пегматита, мощностью до 2 м. Простирание жил северо-восточное	67	
Строительные, огнеупорные, абразивные и другие материалы					
<i>Глины формовочные и адсорбционные</i>					
174	IV-3	с. Антоновка	Формовочная глина встречена на глубине 11 м. Мощность пласта 4,5 м. Глина светло-коричневая с зеленоватым оттенком, восковидная, плотная	62	На основании данных картировочного и поискового бурения на карте выделена перспективная площадь на формовочные и адсорбционные глины. Мощность вскрытых пород 1—30,5 м
169	IV-3	с. Великая Березянка (южная окраина)	Глина формовочная залегает на глубине 40,5 м, мощность пласта 2,5 м. Глина светло-коричневая, песчанистая	62	
171	IV-3	с. Великая Березянка	Глина залегает на глубине 34,7 м, мощность пласта 2,8 м.	62	

161	IV-2	Между селами Дубровка — Чапаевка	Глина оливково-зеленая, восковидная, ломкая, вскрыта скважиной в интервале 47,3—50,0 м.	62	
178	IV-3	с. Косяковка (в 1 км к югу)	Глина светло-коричневая, вскрыта скважиной на глубине 26,0 м. Мощность глины 3,0 м	62	
164	IV-2	Между селами Станиславчик — Федюковка	Глина формовочная светло-серая и оливково-зеленая, плотная. Вскрыта скважиной на глубине 57,0 м, мощность 3,0 м.	62	
165	IV-2	с. Станиславчик (восточная окраина)	Глина встречена на глубине 31,7 м, светло-коричневая, восковидная, плотная. Мощность глины 6,3 м.	62	
162	IV-2	с. Чапаевка, (в 1,3 км северо-западнее)	Формовочная глина вскрыта скважиной в интервале 24,2—27 м. Глина светло-серая, восковидная, хрупкая.	62	
163	IV-2	с. Чапаевка (южная окраина)	Глина оливково-зеленая, песчанистая, вскрыта скважиной на глубине 15,5 м. Мощность 6,5 м.	62	

<i>Источники минеральных вод</i>					
28	II-1	г. Белая Церковь	Поисково-разведочной скважиной в интервале 34,0—90,05 м вскрыт водоносный горизонт, приуроченный к трещиноватой зоне кристаллических пород. Содержание радона в воде 275 эман	24	На карте полезных ископаемых выделена перспективная площадь на радионовые воды в Белоцерковском районе
31	II-1	г. Белая Церковь, парк Александрия	Водоносный горизонт встречен на глубине 4,75 м и приурочен к трещиноватой зоне кристаллических пород. Мощность его 88,4 м. Содержание радона в воде 100—297 эман	24	

Продолжение прилож. 4

Номер по карте	Индекс клетки на карте	Название (местонахождение) проявления и вид полезного ископаемого	Характеристика проявления	№ используемого материала по списку (прилож. 1)	Примечание
35	II-1	г. Белая Церковь (западная окраина)	Водоносный горизонт вскрыт поисково-разведочной скважиной в интервале 4,5—86,45 м. Приурочен к трещиноватой зоне кристаллических пород. Содержание радона в воде 191 эман	24	
38	II-1	г. Белая Церковь	Водоносный горизонт вскрыт поисково-разведочной скважиной на глубине 17 м. Мощность его 114 м. Приурочен к трещиноватой зоне кристаллических пород. Содержание радона в воде 88 эман	24	
40	II-1	г. Белая Церковь	Минеральная вода встречена на глубине 9,0 м. Водоносный горизонт, мощностью 72 м приурочен к трещиноватой зоне кристаллических пород докембрия. Содержание радона в воде 92 эман	24	
39	II-1	"	Водоносный горизонт встречен в интервале 26,4—62,3 м, приурочен к трещиноватой зоне кристаллических пород докембрия. Содержание радона в воде 28 эман	24	
140	III-4	г. Богуслав (на территории суконной фабрики)	Минеральная вода встречена в интервале 31,0—128,0 м. Содержание радона в воде 112 эман	24	На карте полезных ископаемых выделена перспективная площадь на радионовые воды

138	III-4	г. Богуслав	Минеральная вода встречена в интервале 80—120 м и приурочена к трещиноватой зоне кристаллических пород. Содержание радона 93 эман	24	
133	III-4	с. Владиславка	Водоносный горизонт вскрыт поисково-разведочной скважиной в интервале 42,5—77,0 м. Содержание радона в воде 126 эман	24	
90	II-4	Пос. Мироновка	Поисково-разведочной скважиной в интервале 25,0—80,0 м вскрыт водоносный горизонт, приуроченный к трещиноватой зоне кристаллических пород докембрия. Содержание радона в воде 387 эман	24	
91	II-4	Пос. Мироновка	Минеральная вода встречена поисково-разведочной скважиной в интервале 11,0—120 м. Содержание радона в воде 440 эман	24	

ОГЛАВЛЕНИЕ

Введение	3
Стратиграфия	30
Тектоника	34
Геоморфология	36
Полезные ископаемые	42
Подземные воды	45
Литература	48
Приложения	48

Редактор издательства *Л. Г. Рожкова*
Техн. редактор *В. В. Романова* Корректурный

Формат 60×90¹/₁₆ Подписано в печать 14/IV 1969 г.
Тираж 100 экз. Печ. л. 4,75

Уч.-изд. л. 7,2
Заказ № 04376

Издательство «Недра»
Ленинградская картографическая фабрика ВАГТ